

K-14038

П267048

ВІСНИК ХАРКІВСЬКОГО УНІВЕРСИТЕТУ



№ 80

РАДІОФІЗИКА І ЕЛЕКТРОНІКА

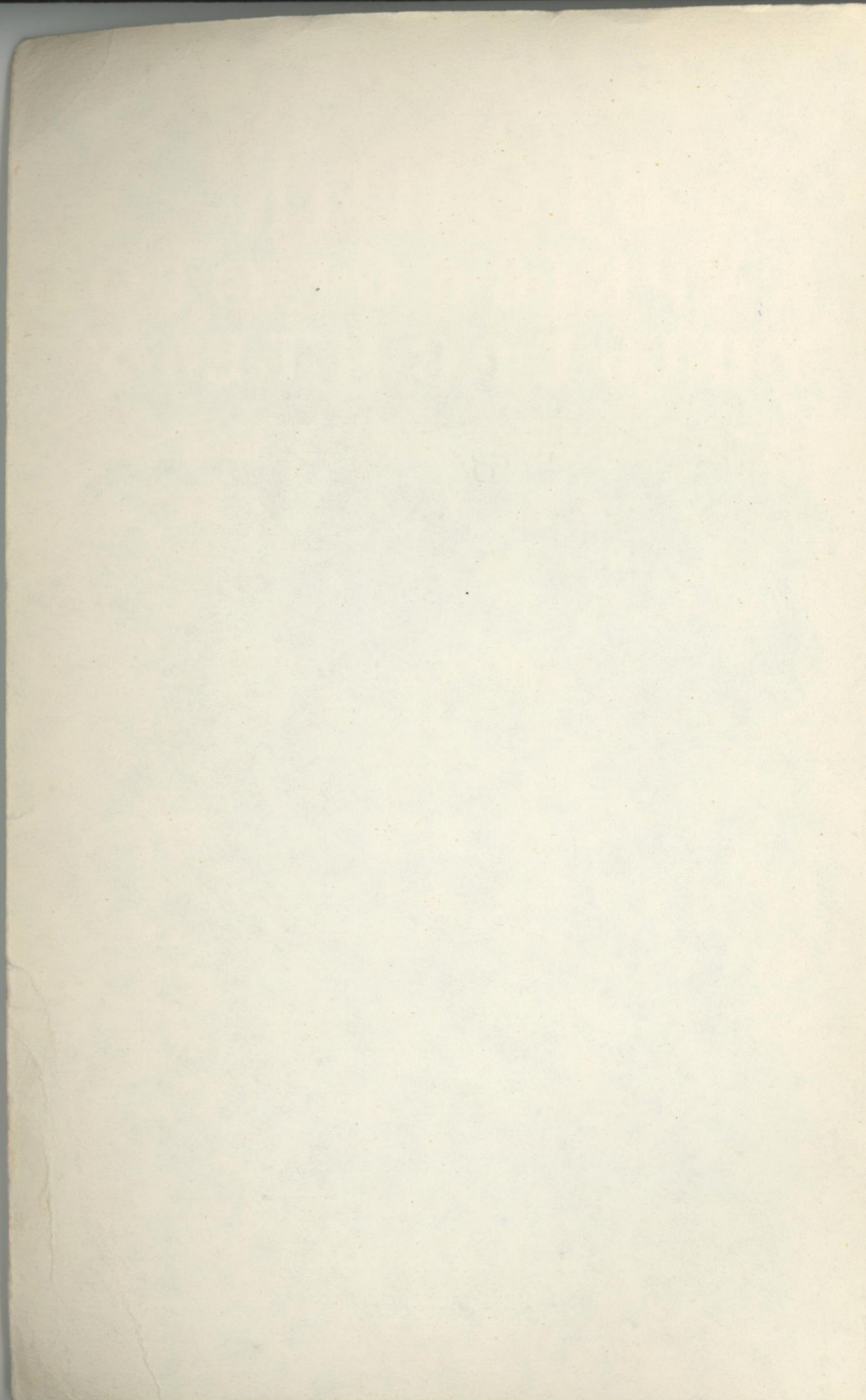
ВИПУСК 1



ВИДАВНИЦТВО ХАРКІВСЬКОГО
УНІВЕРСИТЕТУ

1 крб. 7 коп.





МІНІСТЕРСТВО ВИЩОЇ І СЕРЕДНЬОЇ СПЕЦІАЛЬНОЇ ОСВІТИ УРСР

ВІСНИК
ХАРКІВСЬКОГО
УНІВЕРСИТЕТУ

№ 80

РАДІОФІЗИКА І ЕЛЕКТРОНІКА

ВИПУСК 1

К-14038



ВИДАВНИЦТВО

ХАРКІВСЬКОГО ОРДЕНА ТРУДОВОГО ЧЕРВОНОГО ПРАПОРА
ДЕРЖАВНОГО УНІВЕРСИТЕТУ імені О. М. ГОРЬКОГО
Харків

1972

У віснику вміщено результати досліджень, що здійснюються кафедрами радіофізичного факультету Харківського державного університету. Значне місце займають статті, присвячені взаємодії електромагнітних приладів НВЧ та оптичного діапазону, фізиці напівпровідників, фізиці газового розряду.

Збірник може бути корисним для науковців і викладачів вузів, які працюють в галузі радіофізики та електроніки, а також для радіоінженерів, аспірантів і студентів старших курсів радіофізичних факультетів.

Редакційна колегія:

проф. М. А. Хижняк (відп. редактор), доц. В. М. Седих, доц. В. М. Костін, доц. В. М. Кузьмичов, доц. М. М. Горобець, доц. Л. Д. Стьопін (секретар).

РОЗРАХУНОК ЕФЕКТІВ, ЩО ВИНИКАЮТЬ ПРИ РОЗПОВСЮДЖЕННІ РАДІОХВИЛЬ ЧЕРЕЗ КРУПНІ НЕОДНОРІДНОСТІ ІОНОСФЕРИ, ЯКІ НЕ УТВОРЮЮТЬ СТАТИСТИЧНОГО АНСАМБЛЮ¹.

*В. О. Місюра, В. Д. Стасенко, В. І. Новожилов, М. П. Світличний,
Ю. Г. Єрохін, Н. Д. Герасимова*

У геометрооптичному наближенні з використанням і далішим розвитком робіт [1—8] проведено розрахунки і проаналізовано ефекти (рефракція, фазове і групове запізнення, допплерівське зміщення частоти, кут і швидкість повороту площини поляризації через ефект Фарадея), що виникають при розповсюджені радіохвиль через крупні неоднорідності іоносфери, які не утворюють статистичного ансамблю.

На трасі в плазмі колоземного і космічного простору можуть, як відомо, знаходитися крупні неоднорідні утворення (природного або штучного² походження, одиночні або в невеликій кількості), які не дають статистичного ансамблю і, таким чином, не дозволяють використати при розрахунку поширення радіохвиль статистичний підхід по ансамблю неоднорідностей. Ми тут не розглядаємо можливий ще інший статистичний підхід, коли спочатку розрахунки поширення здійснюються для окремої неоднорідності, параметри якої беруться регулярними, а потім обчислюються ті або інші статистичні характеристики поширення при дальньому припущені про випадковий характер параметрів цієї неоднорідності.

У природній іоносфері такі крупномасштабні неоднорідності (КМН) у вигляді хмар електронної концентрації N або квазіхвилястих структур найчастіше зустрічаються навколо максимуму F_2 і в E_s . У даній роботі можливу велику кількість утворення форм КМН зведено до двох: у вигляді тривісних еліпсоїдів і про-

¹ Доповідь на конференції з іоносфери (Ленінград, вересень, 1968 р.).

² Наприклад, штучні плазмові хмари для астрономічних досліджень: іонізація метеорами, взаємодія космічних апаратів з верхньою іоносферою, входження їх в густі шари атмосфери, при ядерних вибухах, «факели» ракет та ін.

сторових хвиль з параболічним і гауссовим розподілом іонізації по осіх еліпсоїда і товщині «хвилі». Наводиться в геометрооптичному наближенні розрахунок ефектів, що виникають при розповсюдженні радіохвиль (рефракції вертикальної $\delta\beta$, азимутальної $\delta\varepsilon$, запізнень фазового δL і групового $\deltaR = -\deltaL$, набігання

фази $\delta\varphi = -\frac{2\pi}{\lambda}\deltaL$, поправки до допплерівського зміщення частоти

δF_{da} , кута $\delta\Phi_\Phi$ та швидкості $\deltaF_\Phi = \frac{d}{dt}\delta\Phi_\Phi$ фарадейського

повороту площини поляризації) через КМН у загальному й числовому вигляді для застосуваних моделей одиночних неоднорідностей, а також для набору еліпсоїдальних КМН, що не утворюють статистичного ансамблю вздовж траси радіохвиль¹.

Одержані в геометрооптичному наближенні формули ефектів та їх аналіз значно спрощуються при умові відносно малих розмірів неоднорідностей при порівнянні з відстанню l до них від пункту спостереження A . Оцінюється похибка спрощених формул при порівнянні з більш точними, аналіз яких обчислюється з використанням ЕОЦМ М-20. Досліджуються залежності розглядуваних ефектів від основних параметрів неоднорідності, пункту спостереження A і випромінювача B .

Розрахунок ефектів у загальному вигляді

Враховуючи, що в першому наближенні відносно a ($n = \sqrt{1 + a}$) a — коефіцієнт заломлення іоносфери; $a = -\frac{8,07}{f^2}N$, де частота f — в mgz , N — в од. 10^5 ел. cm^{-3}) розглядувані ефекти лінійні по a , то для одержання відповідних формул нерегулярних складових ефектів ($\delta\beta$, $\delta\varepsilon$, δL та ін.) достатньо замінити у правій частині відомих формул (див., наприклад, [1—3]) величину a на її нерегулярну складову δa ($\delta a = -\frac{8,07}{f^2}\delta N$).

Так, у сферичної системі координат ρ , β , ε з початком в точці A для будь-якої форми одиничної неоднорідності у випадку розміщення B над неоднорідністю маємо [2—4]².

$$\delta\beta, \delta\varepsilon = \frac{1}{2} \int_{R_0}^{R_k} \delta\alpha_{10,01} \left(\frac{1}{\rho} - \frac{1}{R} \right) d\rho, \quad (1)$$

¹ Випадок неоднорідностей, що утворюють статистичний ансамбль, розглядається в [6].

² Тут і далі індекси, розділені комою, беруться окремо.

$$\delta L = -\delta R = \frac{1}{2} \int_{R_0}^{R_K} \delta \alpha_{00} d\rho, \quad \delta \Phi_\varphi = -\frac{2\pi}{\lambda} \bar{b}_L \delta L, \quad (2)$$

$$\delta F_{\partial a} = \delta F_{\partial a_\beta} + \delta F_{\partial a_\varepsilon} + \delta F_{\partial a_t}, \quad (3)$$

де

$$\delta F_{\partial a_{\beta, \varepsilon}} = -\frac{\lambda^{-1}}{2} \frac{V_{\beta, \varepsilon}}{R} \int_{R_0}^{R_K} \delta \alpha_{10,01} d\rho, \quad \delta F_{\partial a_t} = -\frac{\lambda^{-1}}{2R} \int_{R_0}^{R_K} \frac{\partial(\delta \alpha)}{\partial t} d\rho, \quad (4)$$

$$\delta \alpha_{00} = \delta \alpha \Big|_{\varepsilon=\varepsilon_B}^{\beta=\beta_B}, \quad \delta \alpha_{10,01} = \frac{\partial(\delta \alpha)}{\partial \beta} \Big|_{\varepsilon=\varepsilon_B}^{\beta=\beta_B}, \quad b_L = \frac{f_L}{f}. \quad (5)$$

Аналогічний (4) вигляд має вираз для δF_Φ . Тут δF_Φ — проекція гірочастоти на промінь: \bar{b}_L — середньозважене значення

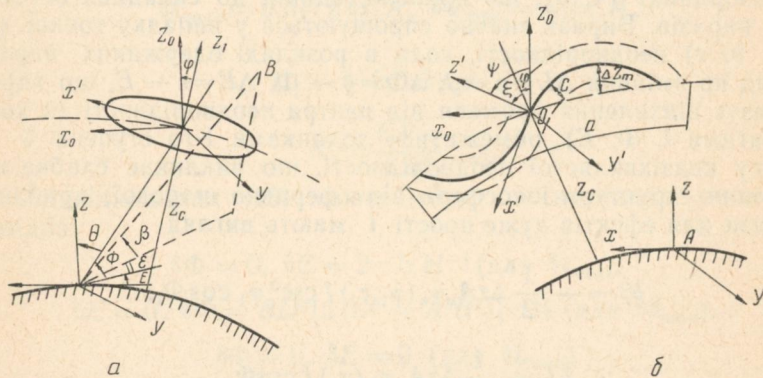


Рис. 1.

b_L [7]; λ — довжина хвилі випромінювача; f — частота; $V_{\beta, \varepsilon}$ — складові швидкості випромінювача V , відповідні координатам β , ε ; R , R_0 , R_K — відстані від A до B , до нижньої і верхньої границь неоднорідностей відповідно. Тут і далі всі лінійні величини беруться в радіусах Землі, решта позначень видна з рис. 1.

Очевидно, у випадку, коли випромінювач B розміщений в середині неоднорідності ($R < R_K$), верхня границя R_K в (1) — (5) заміняється на R , а у формулах для $\delta F_{\partial a}$ і $\delta \Phi_\varphi$ додаються „локальні“ складові $0,5 V_R \delta a_B$ і $0,5 V_R b_L B \delta a_B$ відповідно.

Якщо параметри неоднорідності a , b , $c \ll l$ (для еліпсоїда a , b і c — його півосі, для хвилястої КМН c — товщина, a — пе-

ріод), то в (1) — (5) можна замінити на константу l , винести за знак інтеграла і одержати більш прості співвідношення:

$$\delta F_{\partial \alpha_{\beta, \varepsilon}} = K_{\beta, \varepsilon} \frac{l}{R} \frac{\delta \beta, \delta \varepsilon}{1 - l/R}, \quad \delta F_{\Phi_{\beta, \varepsilon}} = c_{\beta, \varepsilon} \frac{l}{R} \frac{\delta \beta, \delta \varepsilon}{1 - l/R}, \quad (6)$$

де

$K_{\beta, \varepsilon} = \lambda V_{\beta, \varepsilon}$, $c_{\beta, \varepsilon} = f^{-2} K_0 V_{\beta, \varepsilon} f_{L10, L01}$, $K_0 = -1,98 \cdot 10^{-2} f^2$.
Тут істотно, що $\delta F_{\partial \alpha_{\beta, \varepsilon}} \sim \delta \beta, \delta \varepsilon$ (аналогічно δF_{Φ}), при цьому

$$\delta \beta, \delta \varepsilon = 0,5 l^{-1} \left(1 - \frac{l}{R} \right) \int_{R_0}^{R_k} \delta \alpha_{10,01} d\rho. \quad (7)$$

Для зручності розрахунку інтегралів у (1) — (4) для конкретних моделей іоносфери (рис. 1) були приведені перетворення координат [4, 5], що привело, однак, до складних остаточних виразів. Вирази значно спрощуються у випадку тонкої ($l \gg a, b, c$) неоднорідності, коли в розкладі одержаних виразів у ряд по змінних $\Delta L = \rho - l, \Delta \Phi = \beta - \Phi, \Delta E = \varepsilon - E$, що характеризує відхилення променя від центра неоднорідності (з координатами l, Φ, E), обмежитися доданками 1-го ступеня. У випадку квазіхвильстої неоднорідності, що викликає слабке відхилення структури іоносфери від сферично шарової, приблизні вирази для ефектів дуже прості і мають вигляд

$$\begin{aligned} \delta \beta &= -\frac{1}{2} \Delta z A_{M\varphi_B}(\varphi_1, z_B) I \csc^2 \varphi_1 \cos \Phi_1, \\ \delta L &= \frac{1}{2} \Delta z A_{M\varphi_L}(\varphi_1) I \cos \Phi_1. \end{aligned} \quad (8)$$

Позначення формул див. у [3—5] і на рис. 1.

Для еліпсоїдальної «тонкої» неоднорідності в цьому випадку для (1) — (4), за аналогією з [4], маємо:

$$\begin{aligned} \delta \beta &= \sqrt{\pi} \delta \alpha_M A (B^{-2} - A^2 D^{-4}) L x (\beta_B - \Phi), \\ \delta \varepsilon &= \sqrt{\pi} \delta \alpha_M A b^{-2} l^{-2} L x (\varepsilon_B - E), \\ \delta L &= -\delta R = 0,5 \sqrt{\pi} \delta \alpha_M A x, \end{aligned} \quad (9)$$

де

$$L = l^{-1} \left(1 - \frac{l}{R} \right), \quad x = \exp(-r),$$

$$r = (1 - A^2 D^{-4})(B^{-1} \Delta \Phi)^2 + (b^{-1} l \Delta E)^2,$$

$$A^2, B^2 = \frac{a^2, b^2 l^{-2} r_c^2}{(a^2, l^2)[(a^2, b^2 l^{-2})(l + \sin \Phi)^2 + B^2 l^{-2}, a^2 \cos \Phi]},$$

$$D^2 = \frac{a^2 b^2 l^{-2} (l^2 + 2l \sin \Phi + 1)}{l(a^2 - b^2 l^{-2})(l + \sin \Phi) \cos \Phi},$$

r_c — відстань від центра Землі до центра неоднорідності.

Очевидно, в окремому випадку радіоастрономічної рефракції ($R \rightarrow \infty$, $\delta\beta_\infty$ і $\delta\varepsilon_\infty$) досить припустити $L = l^{-1}$.

Аналогічні формули не становлять утруднень при їх записі з урахуванням (3), (4) також для інших ефектів.

З одержаних виразів для максимальних значень величин легко дістати:

$$\begin{aligned}\delta\beta_{\max\infty}, \delta\varepsilon_{\max\infty} &= C_1 A l^{-2}, \\ \delta\beta_{\max}, \delta\varepsilon_{\max} &= \delta\beta_{\max\infty}, \delta\varepsilon_{\max\infty} L l^{-1},\end{aligned}\quad (10)$$

$$\delta L_{\max} = 0,5 \sqrt{\pi} \delta\alpha_M A, \quad \delta\Phi_{\max} = K_1 \delta\alpha_M A,$$

де

$$C_1 = \sqrt{0,5 \pi} \delta\alpha_M e^{-\frac{1}{2}},$$

$$K_1 = \frac{KV\sqrt{\pi}}{8,07}.$$

Співвідношення (10) мають місце при виконанні умов відповідно:

$$\begin{aligned}\delta\Phi &= 0, \quad \delta E = 2 - \frac{1}{2} b l^{-1} \text{ (для } \delta\varepsilon_{\max}), \\ \delta E &= 0, \quad \delta\Phi = BD^2[2(D^4 - A^2 B^2)] - \frac{1}{2} \text{ (для } \delta\beta_{\max}), \\ \delta\Phi &= 0, \quad \delta E = 0 \text{ (для } \delta L_{\max}).\end{aligned}\quad (11)$$

Аналогічно максимальні значення градієнтних складових допплерівського зміщення частоти встановлюються

$$\delta F_{\partial a_{\beta\max}} = 2C_1 K_\beta \frac{A}{RBD^2}, \quad \delta F_{\partial a_{\varepsilon\max}} = 2c_1 K_\varepsilon b^{-1} l R^{-1}.$$

Таким чином, максимальні значення рефракцій (як і градієнтних складових в $\delta F_{\partial a}$ і δF_Φ), мають місце при зміщенні променя відносно центра неоднорідності. Максимальні значення δL (як і $\delta\Phi_\Phi$, $\delta\Phi$, δR) спостерігаються при проходженні променя через центр неоднорідності, що є очевидним.

Можуть викликати інтерес значення ефектів для граничних положень неоднорідності ($\Phi = 0, \frac{\pi}{2}$). Так, для $\Phi = \frac{\pi}{2}$

$$\delta\beta_{\max} = \frac{c_1 c}{a}, \quad \delta\varepsilon_{\max} = \frac{c_1 c}{b}, \quad \delta L_{\max} = 0,5 \sqrt{\pi} \delta\alpha_M c, \quad \text{а відношення}$$

величин для неоднорідності на горизонті ($\Phi = 0$) до їх значення, коли $\Phi = \frac{\pi}{2}$, буде:

$$\gamma_{\beta} = \frac{r_c^2 a^2 (R - \sqrt{r_c^2 - 1})}{[a^2(r_c^2 - 1) + c^2](R - r_c + 1)}, \quad \gamma_{\varepsilon} = \frac{r_c a (R - \sqrt{r_c^2 - 1})}{\sqrt{a^2(r_c^2 - 1) + c^2(R - r_c + 1)}},$$

$$\gamma_L = \frac{r_c a}{\sqrt{a^2(r_c^2 - 1) + c^2}}. \quad (12)$$

Просторовий період (кутовий інтервал між значеннями сусідніх максимумів) відповідно для вертикальної і азимутальної рефракції описується виразами

$$T_{\beta} = \frac{\sqrt{2} BD^2}{(D^4 - A^2 B^2)^{\frac{1}{2}}}, \quad T_{\varepsilon} = bl^{-1}\sqrt{2}.$$

Були також здійснені спроби розповсюдити одержані для одиночних неоднорідностей формулі у випадку статистично неоднорідного анізотропного шару, не звертаючись до кореляційної теорії. Не наводячи тут докладних викладок (див. [4]), зазначимо тільки, що при «щільному» пакуванні еліптичних неоднорідностей середньоквадратичні ефекти за рахунок підшарку товщиною Δl вздовж лінії AB перевищують максимальні ефекти за рахунок однієї неоднорідності для рефракції в $\alpha_{\beta, \varepsilon} = \left[\frac{n_0 \Delta l}{2V(R_k - R_0)} \right]^{\frac{1}{2}}$

разів, а для запізнення — в $\alpha_L = \sqrt{\frac{2}{l}} \alpha_{\beta}$ разів, де $V = \frac{4}{3} \pi a b c$ — об'єм однієї неоднорідності; n_0 — густина неоднорідностей підшарку (при компактному пакуванні). Якщо розподіл $\delta \alpha_m$ в межах підшарку Δl не постійний, а зменшується до країв, то у виразі для $\alpha_{\beta, \varepsilon}$ з'явиться множник, менший за одиницю (наприклад, 0,7 для гауссового розподілу $\delta \alpha_m$).

Ілюстрація числових розрахунків і аналіз ефектів

Для оцінки точності наближених формул (9) результати розрахунків за ними порівнювалися з розрахунками за більш точними формулами (1) — (4). Табл. 1 ілюструє приклад розрахунку рефракції за формулами (1) і (9) для еліпсоїдальної неоднорідності, параметри якої показані в цій таблиці.

З табл. 1 видно, що із збільшенням розмірів неоднорідностей похибка формули (9) у порівнянні з (1) зростає, бо гірше виконується умова $a, b, c \ll z_c$. Середньоквадратична похибка

Таблиця 1

Φ°	5	20	30	45	85	Параметри КМН, км
(1)	1017	10907	892	636	311	$a = b = 60, c = 30$
(9)	1043	1014	802	452	219	$z_c = 140, z_B = 250$
(1)	2863	2261	1634	1078	—	$a = b = 11, c = 4,5$
(9)	2870	2260	1635	1074	—	$z_c = 100, z_B = 250$
(1)	1240	1010	—	270	200	$a = 120, b = 60, c = 30$
(9)	1340	1110	—	240	190	$z_c = 250, z_B \rightarrow \infty$

формул (9) у порівнянні з розрахунками за (1) — (4) не перевищує 20%. Таким чином, в межах цієї похибки можна кори-

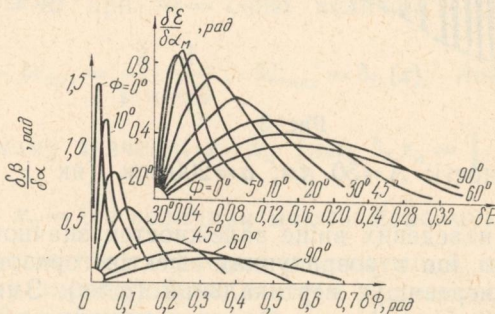


Рис. 2.

стуватися спрощеними формулами (9). Розрахунки за точними формулами (1) — (4) проводилися з використанням ЕОЦМ М-20. Нижче наводяться приклади числових розрахунків і аналізу ефектів. Параметри еліпсоїдальної КМН, що використовувалися в розрахунках: $z_c = \text{const}$ (≈ 300 км), $\Phi = \text{const}$, $E = \text{const}$, $a : b : c = 4 : 2 : 1$, $c = 30$ км.

Рис. 2 характеризує залежність рефракцій $\delta\beta$ і $\delta\epsilon$ при переміщенні променя відносно центра еліпсоїдальної неоднорідності (в залежності від $\delta\Phi = \beta_B - \Phi$ та $\delta E = \epsilon_B - E$ для ряду фіксованих її положень, $R = 10\,000$ км). При переміщенні променя через центр неоднорідності рефракція змінює знак, тому що змінюють знак поперечні градієнти α_{10} та α_{01} (на рис. 2 показана додатна половина періоду). Положення екстремумів визначається умовами (11). Аналогічна залежність δL (також $\delta\phi$, $\delta\Phi_F$), на відміну від рефракції, має максимум при $\Phi = 0$, що є очевидним.

Обвідні кривих типу показаних на рис. 2 являють собою максимальні значення ефектів (для еліпсоїдальної моделі) за-

лежно від Φ . Ці значення залежать, як виходить із (9), від параметрів a, b, c неоднорідності, від її витягнутості, положення в просторі (Φ, z_c, E) і від $\delta\varepsilon_m$. Перерахунок рефракцій нескінченно віддаленого випромінювача на скінченне віддалення очевидний [2—5].

Аналогічні розглянутим залежності δL для хвилястої моделі ілюструються рис. 3 (криві для рефракції подібні), де парамет-

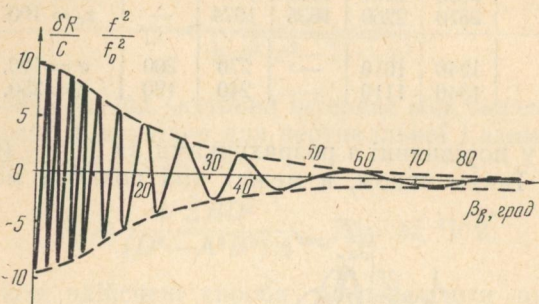


Рис. 3.

ри неоднорідності: $A=50 \text{ км}$; $a=200 \text{ км}$ (як і раніше, $z_c \approx 300 \text{ км}$).

Характер наведених вище залежностей значною мірою пов'язаний з тим, що в розрахунках ефектів горизонтальний розмір помітно перевищує вертикальний ($a>c$). Зменшення рефракції при збільшенні кута Φ , що перевищує деяке значення, з'язане із зменшенням шляху променя в неоднорідності і попечерних до променя градієнтів $N(a_{10} \text{ та } a_{01})$. До зниження рефракції приводить також зменшення z , причому тим в більшій мірі, чим менше Φ і β_B . Астрономічні рефракції ($\delta\beta_{\max\infty}$ та $\delta\varepsilon_{\max\infty}$) мають максимум при $\beta_B=0$. При скінченному віддаленні випромінювача ці максимуми зміщуються. Так, для $\delta\varepsilon_{\max}$ положення максимуму визначається при умові $\sin\Phi=\frac{r_c^2-1}{R}$, яка очевидно виконується для $R=\infty$ при $\Phi=0$. Оскільки звичайно величина r_c^2-1 мала і змінюється в незначних межах, то максимуми $\delta\varepsilon$ при скінченних віддаленнях випромінювачів R мають місце при низьких значеннях Φ .

Отже, характер розглянутих вище залежностей рефракції і запізнень за рахунок локальних еліпсоїдальних неоднорідностей збігається з відповідними залежностями регулярних ефектів [1, 8].

Зупинимося на питанні впливу видовженості неоднорідностей на розглядувані ефекти. Очевидно, в крайньому разі виродження еліпсоїдів у сферу (у формулах (10) $a=b=c$,

$D = \infty$, $A = a$, $B = 1$) $\delta\beta_{\max} = \delta\varepsilon_{\max} = C_1 \left(1 - \frac{l}{R}\right)$, $\delta L_{\max} = C_1 a$ не залежать від Φ , таким чином максимуми по Φ зникають. При малій витягнутості еліпсоїдів і при $b = c$ (для простоти) для $\Phi = 0$, $\delta\beta_{\max} = C_1 \frac{a}{c}$, $\delta\varepsilon_{\max} = C_1 \frac{a}{b}$ та $\delta L_{\max} = 0,5 \sqrt{\pi} a \delta\alpha_m$. Відношення $\gamma_{\beta}, \gamma_{\varepsilon}, \gamma_L$, що визначаються формулами (12), набувають таких значень:

$$\gamma_b = \frac{a^2}{c^2}, \quad \gamma_{\varepsilon} = \frac{a}{c}, \quad \gamma_L = \frac{a}{c}.$$

Ілюстрацією більш загальної ситуації є рис. 4 ($\Phi = E = \text{const}$, $z_c = 300 \text{ км}$, $R = \infty$), на якому представлені залежності від $x = 4a$ при $\Phi = \text{const}$ величин $\delta_{\beta}(x) = \frac{1}{c} \delta\beta_{\max}$, $\delta_{\varepsilon}(x) = \frac{1}{C_1} \frac{b}{c} \delta\varepsilon_{\max} = \frac{2}{\sqrt{\pi}} \frac{1}{\delta\alpha_m}$, $\delta L_{\max} = \delta_L(x)$. Аналіз показує, що при деякому значенні $x = x_m$ (для $\delta_{\beta} x_m = \sqrt{\frac{r_c^2}{\cos^2 \Phi} - 1}$ і для $\delta_{\varepsilon} \text{ і } \delta_L x_m = 0$) величини мають максимум. При збільшенні Φ зростає і x_m ; значення максимумів δ_{β} при збільшенні Φ спочатку зменшуються, а потім з деякого значення Φ зростають. Для з'ясування цього слід пам'ятати, що максимумам δ_{β} при великих Φ відповідають і більші значення $x_m = \frac{c}{a}$. Для малих Φ $x_m \approx \sqrt{2z_c}$ і $\delta_{\beta}(x_m) \approx \frac{1}{2z_c}$. Таким чином, при зменшенні z_c для $\Phi = 0$ максимуми δ_{β} будуть збільшуватися і зміщуватися до початку координат. При $x \ll x_m$ $\delta_{\beta} \approx \frac{x}{x_m^2} \approx \frac{x}{2z_c}$, а при $x \gg x_m$ $\delta_{\beta} \approx \frac{1}{x_m} \rightarrow 0$. Аналогічно при $\Phi = 0$ величина $\delta_{\varepsilon} = \frac{1}{\sqrt{2z_c + x^2}}$, тобто максимум максиморум $\approx \frac{1}{\sqrt{2z_c + x^2}}$ при $\Phi = 0$ і він тим більше, чим менше z_c . При зростанні Φ максимум δ_{ε} зменшується і при $\Phi = \frac{\pi}{2}$ зникає.

Для сфери значення не залежить від Φ .

Наявність максимумів у величин $\delta_{\beta, \varepsilon}$ зв'язана з тим, що збільшення розмірів неоднорідності вздовж відповідних осей (β або ε) в перерізах, перпендикулярних променю, викликає

при $\delta\alpha_m = \text{const}$ зростання поперечних до променя градієнтів α_{10} і α_{01} , і, отже, збільшення відповідних рефракцій. Скорочення шляху променя в неоднорідності при тих самих градієнтах α_{10} , α_{01} викликає зменшення рефракцій. Зменшення відстані l до неоднорідності при $R = \infty$ спричиняє збільшення рефракцій. Таким чином з рис. 4 виходить, що величини $\delta\beta_{\max}$ не залежать

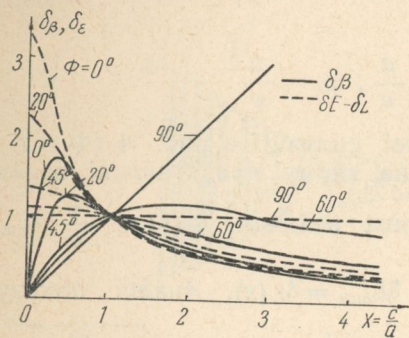


Рис. 4.

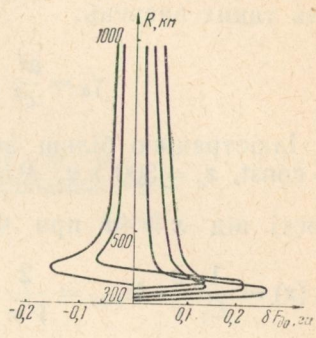


Рис. 5.

в першому наближенні від параметра b , тоді як $\delta\epsilon_{\max}$ залежить від усіх трьох параметрів a , b , c . Це пояснюється тим, що $\delta\epsilon_{\max}$ визначається боковим відхиленням, яке проходить від центра неоднорідності на відстані, залежній від b , в перерізі еліпсоїда, визначеного параметрами a та c . Разом з тим $\delta\beta_{\max}$ виникає при проходженні променя в перерізі, розмір і положення якого залежать від параметра b .

Перерахунок кривих $\delta\beta$ для хвилястої моделі при $R = \infty$ на скінченні віддалення здійснюється множенням $\delta\beta_\infty$ на функцію [5]:

$$\varphi_B = 1 + \frac{r_m^2 - \cos^2 \beta_B}{(r_m^2 + \cos^2 \beta_B) z_B},$$

в якій можна взяти $r_m \approx 1$. Видно, що φ_B зменшується при зростанні z_B . Таким чином, для цієї моделі (як і для сферично шарової регулярної іоносфери [1]), рефракція для нескінченно віддаленого випромінювача менша, ніж для скінченно віддаленого випромінювача, розміщеного над неоднорідністю.

Наведемо далі ілюстрації розрахунків допплерівської поправки $\delta F_{\delta a}$ за точними формулами (1) — (4) залежно від координат випромінювача (R , β , ϵ) і центра неоднорідності (z_c , Φ , E); коли випромінювач розміщено поблизу центра неоднорідності, $\delta F_{\delta a}$ зростає в декілька разів (рис. 5, де Φ , E , β , ϵ , z_c — постійні) за рахунок послаблення впливу верхньої половини еліпсоїда (тут α_{10} змінює знак) і появи локального члена.

При $\beta = \Phi$ максимум $\delta F_{\partial a}$ знаходитьться точно в центрі неоднорідності, при $\beta > \Phi$ він зміщується донизу, при $\beta < \Phi$ — догори, при цьому можлива зміна знака $\delta F_{\partial a}$. Останнє викликано тим, що при $\beta < \Phi$ промінь більшу частину шляху проходить в ниж-

Таблиця 2

Φ град.	$\delta F_{\partial a}$, %, $\beta = \Phi$, $\varepsilon = 0$	
	$R = l$	$R = R_K$
30	100	100
45	82	82
60	68	48
75	57	1
90	47	—

ній половині неоднорідності, тому знак і значення інтегрально-го члена починають визначатися розподілом градієнтів (a_{10}) у

нижній половині еліпсоїда. При зменшенні Φ величина $\delta F_{\partial a}$ зростає (табл. 2, рис. 6); тут $z_c = 385$ км, $z_b = 420$ км, $E - \varepsilon = \text{const}$; параметри еліпсоїда такі самі, що й на рис. 2. Несиметричність залежності $\delta F_{\partial a}(\Delta\Phi)$ викликана нахилем неоднорідності по відношенню до променя (при $\Phi = 90^\circ$ крива симетрична). Залежність $\delta F_{\partial a}(\delta E)$ аналогічна рис. 6. При збільшенні висоти z_c неоднорідності $\delta F_{\partial a}$ практично не змінюється, якщо випромінювач знаходитьться у центрі неоднорідності, і зменшується приблизно на 5% на кожні 60 км, якщо випромінювач вище неоднорідності (табл. 3).

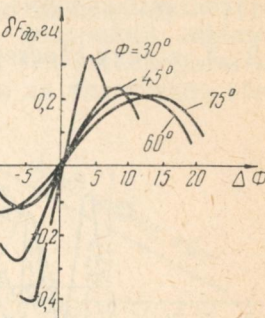


Рис. 6.

Таблиця 3

z_c , км	$\delta F_{\partial a}$, %		$\beta = \Phi = \text{const}$, $E = 0$
	$R = l$	$R > l$	
265	100	100	100
325	99,9	99,1	95,1
385	99,8	99,2	90,2

Рис. 7 ілюструє $\delta F_{\partial a}$ для п'яти шарів у вигляді ланцюжків еліпсоїдальної неоднорідності, що не утворюють статистичного ансамблю. Сумарний ефект може значно відрізнятися від значення, викликаного одним верхнім шаром. Параметри кожної неоднорідності $a : b : c = 6 : 1 : 1$, $c = 10$ км, $E - \varepsilon = \text{const}$, $z_c = 300, 320, 340, 360, 380$ км для кожного шару відповідно, $z_b = 400$ км.

Розрахунки за точними формулами (1) — (4) для квазіхвильстої КМН показали, що для неї також спостерігається значне збільшення δF_{da} , коли випромінювач розміщений всередині неоднорідності. Залежність величини δF_{da} від β квазіперіодична.

З (1) — (6) можна одержати точки $\beta + \psi = \frac{\pi}{4} (2k+1)$ (де $k=0, 1, 2 \dots$), в яких спостерігається екстремуми δF_{da} ; коли присутня



Рис. 7.

локальна складова, то додаються екстремуми при $\beta + \psi = k\pi$. Аналіз залежності δF_{da} від параметрів КМН свідчить, що $|\delta F_{da}|$ зростає при збільшенні амплітуди A , товщини c і зменшенні періоду a хвилястої КМН.

ЛІТЕРАТУРА

1. В. А. Мисюра. «Труды Артиллерийской радиотехнической академии», 1960, № 46, 133—180.
2. В. А. Мисюра. К теории и методике расчета рефракции, запаздывания и допплеровского смещения частоты радиоволн в атмосфере Земли, коэффициент преломления которой зависит от 3-х координат. «IV Всесоюзная конференция МВССО СССР по радиоэлектронике». Харьков, 1960.
3. В. А. Мисюра и др. К теории и методике расчета и измерения нерегулярных эффектов радиоволн, обусловленных крупномасштабными неоднородностями ионосфера. Там же. Харьков, 1960.
4. В. А. Мисюра, Э. Г. Яновицкий, А. Н. Гридин. Расчет нерегулярных эффектов радиоволн, обусловленных крупномасштабными неоднородностями ионосфера. Там же. Харьков, 1960.
5. В. А. Мисюра, Е. Г. Яновицкий. Расчет нерегулярных эффектов радиоволн, обусловленных крупномасштабными неоднородностями ионосфера квазипериодической волнистой структуры. Там же. Харьков, 1960.
6. В. А. Мисюра и др. «Тезисы докладов юбилейной научно-технической конференции». Радиофизический факультет Харьковского госуниверситета. Изд-во ХГУ, Харьков, 1970.
7. В. А. Мисюра, Г. К. Соловьевников, Е. Б. Крохмальников, В. М. Мигунов. Сб. «Исследование космического пространства». «Наука», М., 1965.
8. В. А. Мисюра. «Геомагнетизм и аэрономия», 1969, 9, 3, 453.

ДЕЯКІ ВЛАСТИВОСТІ САМОФАЗОВАНИХ АНТЕННИХ ГРАТОК

М. М. Горобець, Ю. І. Сергієнко

Антенні гратки Ван-Атта, в яких випромінювачі, однаково віддалені від середини, з'єднані попарно фідерними лініями тієї самої довжини, відбивають падаючі на них електромагнітні хвилі в напрямку їх приходу [1]. Оскільки ця властивість зберігається автоматично при будь-яких кутах падіння хвиль, такі гратки є самофазованими і широко використовуються на практиці як ретранслятори.

Аналогічні гратки слабконаправлених випромінювачів можна застосувати для розсіювання електромагнітної енергії в напрямках, відмінних від напрямку її приходу. Такі властивості граток можуть виявитися корисними при конструкціонні безехових камер, а також використовуватися для зменшення ефективної відбиваючої поверхні різних пристройів.

Для досягнення цього ефекту можна використати дві гратки Ван-Атта, довжини фідерних ліній в яких відрізняються на половину довжини хвилі в лінії і фазові центри збігаються. Дійсно, при цьому випромінення однієї гратки в напрямку приходу хвилі гаситься протифазним випроміненням другої при будь-яких кутах падіння хвилі на гратку.

Схему лінійної гратки з парним числом випромінювачів та прийняту систему координат показано на рис. 1. Діаграма розсіювання гратки визначається добутком діаграмами напрямленості використаного типу випромінювача $F_1(\Theta, \phi)$ на комплексний множник в режимі передачі

$$F(\theta) = \sum_{n=0}^{N-1} A_n e^{i(nkd \sin \theta + \psi_n)}, \quad (1)$$

де A_n, ψ_n — відповідно амплітуда і фаза поля (струму) збудження n -го випромінювача;

d — відстань між сусідніми випромінювачами;

N — число випромінювачів,

Θ — кут між віссю Z і напрямком на точку спостереження.

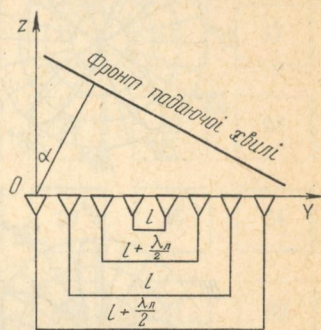


Рис. 1.

Розглянемо далі випадок, коли на гратку падає плоска хвилі. Якщо можна знехтувати взаємним впливом випромінювання.

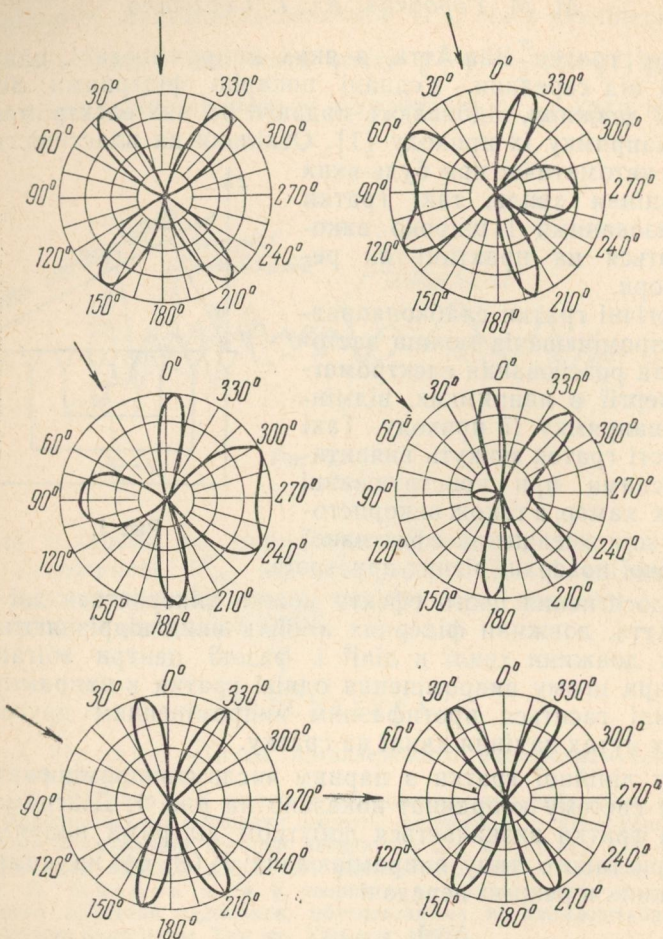


Рис. 2.

чів у гратці і вважати, що всі випромінювачі погоджені з фідерними лініями, то розподіл амплітуд у гратці рівномірний:

$$A_n = A_{n+1} = 1,$$

а фази визначаються кутом падіння хвилі на гратку, відстанню між випромінювачами і довжиною фідерних ліній, що з'єднують спряжені випромінювачі. Наприклад, у гратці з восьми елементів (рис. 1) фази полів збудження випромінювачів такі:

$$\begin{array}{ll}
 \psi_0 = 0; & \psi_4 = -4kdsina - \pi; \\
 \psi_1 = -kdsina - \pi; & \psi_5 = -5kdsina; \\
 \psi_2 = -2kdsina; & \psi_6 = -6kdsina - \pi; \\
 \psi_3 = -3kdsina - \pi; & \psi_7 = -7kdsina. \\
 \end{array} \quad (2)$$

Аналогічно визначається розподіл фаз у гратці з будь-якою кількістю випромінювачів, при цьому зрозуміло, що число їх повинно бути кратне чотирьом.

1	2	3	4	20	19	18	17
8	7	6	5	21	22	23	24
9	10	11	12	28	27	26	24
16	15	14	13	29	30	31	32
32	31	30	29	13	14	15	16
25	26	27	28	12	11	10	9
24	23	22	21	5	6	7	8
17	18	19	20	4	3	2	1

Рис. 3.

З урахуванням цього з (1) знаходимо комплексний множник гратки:

$$F(\theta) = \frac{\frac{2 \sin^2 N}{4} kd (\sin \alpha - \sin \theta)}{\cos \frac{1}{2} kd (\sin \alpha - \sin \theta)} e^{\frac{i}{2} (N-1) kd (\sin \alpha - \sin \theta)}. \quad (3)$$

Результати обчислення квадрату модуля комплексного множника гратки з чотирьох ненаправлених випромінювачів при $d = \frac{\lambda}{2}$ і кутах падіння $\alpha = 0^\circ; 15^\circ; 30^\circ; 45^\circ; 60^\circ$ та 90° в пло-

щині YOZ показані на рис. 2. Вираз (3), нормований до одиниці, в цьому випадку має такий вигляд:

$$F^2(\Theta) = 2 - \cos\pi(\sin\alpha - \sin\Theta) - 2\cos 2\pi(\sin\alpha - \sin\Theta) + \cos 3\pi(\sin\alpha - \sin\Theta).$$

З графіків рис. 2 видно, що електромагнітна енергія розсіюється в основному в напрямках під кутами приблизно $\pm 40^\circ$ до напрямку приходу хвилі. Характер розподілу енергії в просторі істотно залежить від кута падіння хвилі на гратку.

Для створення плоских граток, що розсіюють електромагнітну енергію при падінні хвилі в будь-якій площині, випромінювачі необхідно з'єднувати за схемою рис. 3, де сполучаються елементи з однаковими номерами. Всі випромінювачі з непарними номерами з'єднуються фідерними лініями довжини l , випромінювачі з парними номерами — $l + \frac{\lambda_\Phi}{2}$. Гратку можна виконувати у вигляді окремих блоків $4N \times 4N$ випромінювачів.

Для забезпечення роботи гратки в широкому діапазоні частот випромінювачі треба з'єднувати фідерними лініями з слабкою дисперсією або використовувати малодисперсні 180° фазообертачі в лініях однакової довжини.

ЛІТЕРАТУРА

1. L. C. Van-Atta. Electromagnetic reflector. US Patent № 2, 908—002, 6 October, 1959.

ЗАДАЧА ДИФРАКЦІЇ ЕЛЕКТРОМАГНІТНОЇ ХВИЛІ НА ДВОШАРОВИХ НЕСИМЕТРИЧНИХ ГРАТКАХ

B. B. Казанський, B. M. Ульянов

У даний час в різних пристроях НВЧ-діапазону одержали широке розповсюдження двошарові симетричні гратки. Ця обставина обумовлена дуже цікавими електродинамічними властивостями (дифракційного й інтерференційного характеру) таких структур. До таких властивостей можна віднести критичність до поляризації та напрямку розповсюдження хвилі, майже повну прозорість в точках інтерференційного резонансу і т. д. [1]. Керованими елементами в симетричних двошарових гратках, як правило, є розмір періоду, відношення ширини щілини до періоду і відстань між плоскими гратками. Становить також інтерес вплив на електродинамічні характеристики дифрагійного поля паралельного переміщення плоских граток з точки зору використання його як параметра управління. Вирішенню задачі дифракції плоскої електромагнітної хвилі на несиметричних двошарових гратках в точній постановці присвячена

дана робота. Складність розв'язання задачі пов'язана з тим, що для несиметричної структури подвоюється, порівняно з симетричною, число призначених для визначення коефіцієнтів Фур'є дифрагійного поля. Однак, як зазначається нижче, це ускладнення можна подолати розподілом функціональних рівнянь на дві незалежні системи.

Досліджувана структура подана на рис. 1. З області $z > 0$ на гратки нормально падає плоска електромагнітна хвиля одиничної амплітуди, поляризована таким чином, що вектор електричного поля є паралельним до осі x (E -поляризація).

Записуючи поля як суперпозицію просторових гармо-

нік у системі координат $x\varphi z$, де $\varphi = 2\pi \frac{y}{l}$, і використовуючи граничні умови для тангенційної складової електромагнітного поля на межах $z=0$ і $z=-a$, одержуємо функціональне рівняння, аналогічне наведеному в роботі [2]:

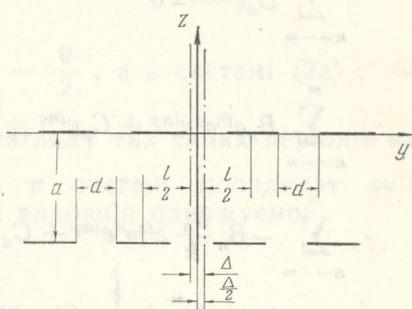


Рис. 1.

$$\begin{aligned}
 & 1 + \sum_{n=-\infty}^{\infty} A_n e^{in\varphi} = 0 \\
 & \sum_{n=-\infty}^{\infty} B_n e^{in\varphi} + C_n e^{ih_n a} \cdot e^{in\varphi} = 0 \\
 & 1 + \sum_{n=-\infty}^{\infty} A_n e^{in\varphi} = \sum_{n=-\infty}^{\infty} B_n e^{in\varphi} + C_n e^{ih_n a} e^{in\varphi} \\
 & -1 + \sum_{n=-\infty}^{\infty} A_n \frac{h_n}{k} e^{in\varphi} = \\
 & = \sum_{n=-\infty}^{\infty} -B_n \frac{h_n}{k} e^{in\varphi} + C_n \frac{h_n}{k} e^{ih_n a} e^{in\varphi}
 \end{aligned}
 \quad \left. \begin{array}{c} \text{метал} \\ \text{щілини} \end{array} \right\} z=0 \quad (1)$$

$$\left. \begin{aligned} & \sum_{n=-\infty}^{\infty} B_n e^{i h_n a} e^{i n \varphi} + C_n e^{i n \varphi} = 0 \\ & \sum_{n=-\infty}^{\infty} D_n e^{i n \varphi} = 0 \\ & \sum_{n=-\infty}^{\infty} B_n e^{i h_n a} e^{i n \varphi} + C_n e^{i n \varphi} = \sum_{n=-\infty}^{\infty} D_n e^{i n \varphi} \\ & \sum_{n=-\infty}^{\infty} -B_n \frac{h_n}{k} e^{i h_n a} e^{i n \varphi} + C_n \frac{h_n}{k} e^{i n \varphi} = \\ & = \sum_{n=-\infty}^{\infty} -D_n \frac{h_n}{k} e^{i n \varphi} \end{aligned} \right\} \begin{array}{l} \text{метал} \\ z = -a \\ \text{щілини} \end{array}$$

Тут використані позначення роботи [2].

Для одержання зв'язків між коефіцієнтами A_n , B_n , C_n і між коефіцієнтами B_n , C_n , D_n розглянемо на межі $z = 0$ — період $-\pi + \frac{\nabla}{2} \leq \varphi \leq \pi + \frac{\nabla}{2}$, а на межі $z = -a$ — період $-\pi - \frac{\nabla}{2} \leq \varphi \leq \pi - \frac{\nabla}{2}$. Тут і далі $\nabla = 2\pi \frac{\Delta}{e}$. Здобуваємо дві системи функціональних рівнянь:

$$\left. \begin{aligned} & \sum_{n=-\infty}^{\infty} (B_n + C_n e^{i h_n a}) e^{i n \varphi} = 0 \\ & \sum_{n=-\infty}^{\infty} B_n \frac{h_n}{k} e^{i n \varphi} = 1 \end{aligned} \right\} \begin{array}{l} -\pi + \frac{\nabla}{2} \leq \varphi < -\theta + \frac{\nabla}{2} \\ \theta + \frac{\nabla}{2} \leq \varphi \leq \pi + \frac{\nabla}{2} \\ -\theta + \frac{\nabla}{2} \leq \varphi \leq \theta + \frac{\nabla}{2} \end{array} \quad (2)$$

$$\left. \begin{aligned} & \sum_{n=-\infty}^{\infty} (B_n e^{i h_n a} + C_n) e^{i n \varphi} = 0 \\ & \sum_{n=-\infty}^{\infty} C_n \frac{h_n}{k} e^{i n \varphi} = 0 \end{aligned} \right\} \begin{array}{l} -\pi - \frac{\nabla}{2} \leq \varphi < -\theta - \frac{\nabla}{2} \\ \theta - \frac{\nabla}{2} < \varphi \leq \pi - \frac{\nabla}{2} \\ -\theta - \frac{\nabla}{2} \leq \varphi \leq \theta - \frac{\nabla}{2} \end{array} \quad (2a)$$

де $\theta = \frac{\pi d}{l}$. Тут врахований зв'язок між дифрагійними коефіцієнтами на всьому періоді граток вигляду

$$\begin{aligned} \delta_{0n} + A_n &= B_n + C_n e^{ih_n a}, \\ D_n &= B_n e^{ih_n a} + C_n, \end{aligned} \quad (3)$$

де δ_{0n} — символ Кронекера.

Вводимо в системі (2) $\varphi' = \varphi - \frac{\nabla}{2}$, а в системі (2a) $\varphi'' = -\left(\varphi + \frac{\nabla}{2}\right)$, що відповідає розгляду тих самих періодів на межах $z = 0$ і $z = -a$, але вже в системі координат $x\varphi' z$ і $x\varphi'' z$ відповідно. Після деяких видозмін одержуємо:

$$\left. \begin{aligned} \sum_{n=-\infty}^{\infty} (B_n + C_n e^{ih_n a}) e^{in\frac{\nabla}{2}} e^{in\varphi'} &= 0 \\ \sum_{n=-\infty}^{\infty} B_n \frac{h_n}{k} e^{in\frac{\nabla}{2}} \cdot e^{in\varphi'} &= 1 \end{aligned} \right\} \begin{array}{l} \theta < |\varphi'| \leq \pi \\ |\varphi'| \leq \theta \end{array} \quad (4)$$

$$\left. \begin{aligned} \sum_{n=-\infty}^{\infty} (B_{-n} e^{ih_n a} + C_{-n}) e^{in\frac{\nabla}{2}} e^{in\varphi''} &= 0 \\ \sum_{n=-\infty}^{\infty} C_{-n} \frac{h_n}{k} e^{in\frac{\nabla}{2}} e^{in\varphi''} &= 0 \end{aligned} \right\} \begin{array}{l} \theta < |\varphi''| \leq \pi \\ |\varphi''| \leq \theta \end{array} \quad (4a)$$

Оскільки області змін φ' і φ'' в (4) і (4a) однакові, то, складаючи в цих системах перші рівняння з першими, а другі з другими, а потім віднімаючи з перших рівнянь перші, а з других другі, маємо такі еквівалентні цим системам функціональні рівняння:

$$\left. \begin{aligned} \sum_{n=-\infty}^{\infty} [(X_n + e^{ih_n a} X_{-n}) e^{in\frac{\nabla}{2}}] e^{in\psi} &= 0 \\ \sum_{n=-\infty}^{\infty} [X_n e^{in\frac{\nabla}{2}}] \frac{h_n}{k} e^{in\psi} &= 1 \end{aligned} \right\} \begin{array}{l} \theta < |\psi| \leq \pi \\ |\psi| \leq \theta \end{array} \quad (5)$$

$$\sum_{n=-\infty}^{\infty} [(Y_n - e^{ih_n a} Y_{-n}) e^{in \frac{V}{2}}] e^{in\psi} = 0 \quad \left. \begin{array}{l} \theta < |\psi| \leq \pi \\ |\psi| \leq \theta \end{array} \right\} \quad (5a)$$

$$(6) \quad \sum_{n=-\infty}^{\infty} [Y_n e^{in \frac{V}{2}}] \frac{h_n}{k} e^{in\psi} = 1$$

де $X_n = B_n + C_{-n}$; $X_{-n} = B_{-n} + C_n$; $Y_n = B_n - C_{-n}$; $Y_{-n} = B_{-n} - C_n$. (6)

Системи (5) і (5a) можна розглядати як незалежні і звести їх за допомогою методу роботи [3] до незалежних систем лінійних алгебраїчних рівнянь такого вигляду:

$$i\omega W_m^0 X_0 - e^{im \frac{V}{2}} m (X_m + e^{ih_m a} X_{-m}) + \sum_{n \neq 0} |n| (e^{in \frac{V}{2}} \epsilon_n W_m^n + e^{-in \frac{V}{2}} e^{ih_n a} W_m^{-n}) X_n = i\omega W_m^0 \quad m \neq 0 \quad (7)$$

$$(1 + e^{ika} + i\omega W_{[\sigma]}^0) X_0 + \sum_{n \neq 0} |n| (e^{in \frac{V}{2}} \epsilon_n W_{[\sigma]}^n + e^{-in \frac{V}{2}} e^{ih_n a} W_{[\sigma]}^{-n}) = = i\omega W_{[\sigma]}^0;$$

$$i\omega W_m^0 Y_0 - e^{im \frac{V}{2}} m (Y_m - e^{ih_m a} Y_{-m}) + \sum_{n \neq 0} |n| (e^{in \frac{V}{2}} \epsilon_n W_m^n + e^{-in \frac{V}{2}} e^{ih_n a} W_m^{-n}) Y_n = j\omega W_m^0, \quad m \neq 0 \quad (7a)$$

$$(1 - e^{ika} + i\omega W_{[\sigma]}^0) Y_0 + \sum_{n \neq 0} |n| (e^{in \frac{V}{2}} \epsilon_n W_{[\sigma]}^n - e^{-in \frac{V}{2}} e^{ih_n a} W_{[\sigma]}^{-n}) Y_n = = i\omega W_{[\sigma]}^0,$$

де $\epsilon_n = 1 + i \sqrt{\left(\frac{\omega}{n}\right)^2 - 1}$ — параметр малості, причому $\epsilon_{n \rightarrow \infty} = 0 \left(\frac{1}{n^2}\right)$, а W_m^n і $W_{[\sigma]}^n$ — модифіковані коефіцієнти, введені в [4]. Розв'язуючи (7) і (7a) відносно X_n , X_{-n} і Y_n , Y_{-n} відповідно, можна визначити з рівнянь (6) коефіцієнти B_n , B_{-n} , C_n , C_{-n} , а отже, і коефіцієнти A_n і D_n за допомогою (3).

З систем (7) і (7a) видно, що коефіцієнти відбиття A_0 і проходження D_0 не залежать від переміщення Δ в довгохвильовому наближенні ($\lambda \gg l$). Їх значення збігаються в тому са-

мому наближенні з результатами роботи [2]. Більш детальному аналізу електродинамічних якостей двошарових несиметричних граток ми зираємося присвятити окріме дослідження.

ЛІТЕРАТУРА

1. В. Б. Казанський, Л. Н. Литвиненко, Н. Г. Савенко, В. П. Шестопалов. УФЖ, 1970, 15, № 11, 1800.
2. О. А. Трет'яков, В. П. Шестопалов. ЖТФ, 1963, 33, вип. 10, 1232.
3. З. С. Агранович, В. А. Марченко, В. П. Шестопалов. ЖТФ, 1962, 32, вип. 4, 381.
4. В. Б. Казанський, Л. Н. Литвиненко, Н. Г. Савенко, В. П. Шестопалов. УФЖ, 1970, 15, № 10, 1619.

ЗБУДЖЕННЯ ЦИЛІНДРА З ПОЗДОВЖЬЮЩІЛІНОЮ ПЛОСКИМ МОДУЛЬОВАНИМ ПОТОКОМ ЗАРЯДЖЕНИХ ЧАСТИНОК

B. M. Кошпар'онок, Є. Б. Сидоренко

Круглий циліндричний хвилевод з поздовжньою щілиною можна розглядати як різновид відкритого резонатора. Вирішено завдання про збудження такого резонатора модульованим потоком заряджених частинок, що пролітають поблизу щілини циліндра. Розв'язок одержано за допомогою математичного методу теорії дифракції.

Відкритий резонатор (рис. 1) являє собою нескінчений металевий хвилевод радіуса a з поздовжньою щілиною шириною $2v$. Координатна система вибрана таким чином, що вісь циліндра збігається з віссю oz , а площа $y=0$ проходить через середину щілини. Плоский модульований потік заряджених частинок пролітає на відстані r_0 від осі oz під довільним кутом α до осі ox . Густота потоку задається в такому вигляді:

$$\rho = \rho_0 \delta(x \sin \alpha + y \cos \alpha - r_0) e^{-ik(x \cos \alpha - y \sin \alpha) - i\omega t}, \quad (1)$$

де $k = \frac{\omega}{v}$; v — швидкість електронного потоку; $\delta(z)$ — дельта функція Дірака.

Власне поле пучка визначається з рівняння для вектора Герца:

$$\vec{\Delta} \vec{\Pi} + \frac{\omega^2}{c^2} \vec{\Pi} = -i \frac{4\pi}{\omega} \vec{I}, \quad \vec{I} = \rho v,$$

$$\vec{E} = \frac{\omega^2}{c^2} \vec{\Pi} + \text{grad} \text{div} \vec{\Pi}, \quad \vec{H} = -\frac{i\omega}{c} \text{rot} \vec{\Pi}.$$

У циліндричній системі координат $r^2 = x^2 + y^2$, $\varphi = \arctan \frac{y}{x}$ для ділянки зліва від пучка, а значить, і в оточенні циліндра власне поле потоку має вигляд

$$E_\varphi = -2\pi\rho_0 e^{-qr_0} e^{-ikr} \left[\cos(\alpha + \varphi) + \frac{iq}{k} \sin(\alpha + \varphi) \right] \times \\ \times \left[\cos(\alpha + \varphi) + \frac{iq}{k} \sin(\alpha + \varphi) \right], \quad (2)$$

$$E_r = -2\pi\rho_0 e^{-qr_0} e^{-ikr} \left[\cos(\alpha + \varphi) + \frac{iq}{k} \sin(\alpha + \varphi) \right] \times \\ \times \left[\sin(\alpha + \varphi) - \frac{iq}{k} \cos(\alpha + \varphi) \right]$$

$$H_z = 2\pi\rho_0 e^{-qr_0} \beta e^{-ikr} \left[\cos(\alpha + \varphi) + \frac{iq}{k} \sin(\alpha + \varphi) \right]$$

(множник $e^{-i\omega t}$ тут і далі опущено).

Визначимо $\frac{q}{k} = \operatorname{th} \xi = \sqrt{1 - \beta^2}$, $\xi = \ln \frac{1 + \sqrt{1 - \beta^2}}{\beta}$, тоді

$$E_\varphi = -2\pi\rho_0 e^{-qr_0} \beta \cos(\alpha + \varphi - i\xi) e^{-ik_0 r \cos(\alpha + \varphi - i\xi)},$$

$$E_r = -2\pi\rho_0 e^{-qr_0} \beta \sin(\alpha + \varphi - i\xi) e^{-ik_0 r \cos(\alpha + \varphi - i\xi)}, \quad (3)$$

$$H_z = 2\pi\rho_0 \beta e^{-qr_0} e^{-ik_0 r \cos(\alpha + \varphi - i\xi)}, \quad k_0 = \beta k = \frac{\omega}{c}.$$

Використовуючи відомий розклад

$$\exp(-iz \cos \varphi) = \sum_n (-i)^n J_n(z) e^{in\varphi},$$

перетворюємо вираз для компонент поля (3):

$$E_\varphi = -2\pi\rho_0 \beta e^{-qr_0} \sum_n \left(-i \frac{1 + \sqrt{1 - \beta^2}}{\beta} \right)^n J'_n(k_0 r) e^{in(\alpha + \varphi)}, \quad (4)$$

$$E_r = -2\pi\rho_0 \frac{\beta}{k_0 r} e^{-qr_0} \sum_n n \left(-i \frac{1 + \sqrt{1 - \beta^2}}{\beta} \right)^n J_n(k_0 r) e^{in(\alpha + \varphi)},$$

$$H_z = 2\pi\rho_0\beta e^{-qr_0} \sum_n \left(-i \frac{1 + \sqrt{1 - \beta^2}}{\beta} \right)^n J_n(k_0 r) e^{in(\alpha + \varphi)}.$$

Поле, збуджене заданим потоком, що пролітає поблизу циліндра, шукаємо у вигляді

$$\vec{E} = \vec{E}^{\text{вл}} + \vec{E}^{\text{дифр}}, \quad \vec{H} = \vec{H}^{\text{вл}} + \vec{H}^{\text{дифр}},$$

де $\vec{E}^{\text{вл}}$ і $\vec{H}^{\text{вл}}$ визначені виразами (3), (4).

Поля, що їх ми шукаємо, мають задовольняти рівнянням Максвелла і граничним умовам на поверхні циліндра, бути

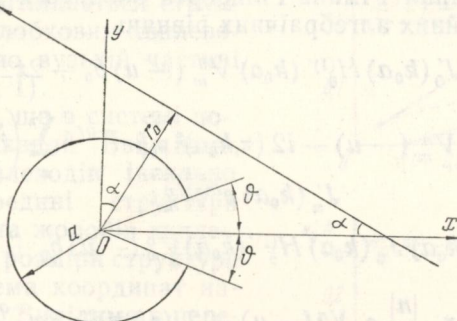


Рис. 1.

безперервними і кінцевими на всьому просторі, а також спада-ти на безмежності. Ці вимоги будуть виконані, якщо дифрак-ційне поле матиме вигляд

$$H_z^{\text{дифр}} = \begin{cases} \sum_n h_n \frac{J_n(k_0 r)}{J'_n(k_0 r)} e^{in(\alpha + \varphi)}, & r < a \\ \sum_n h_n \frac{H_n^{(1)}(k_0 r)}{H_n^{(1)'}(k_0 r)} e^{in(\alpha + \varphi)}, & r > a \end{cases} \quad (5)$$

(компоненти електричного поля встановлюються з рівнянь Мак-свелла), де коефіцієнти h_n знаходяться з функціональних рів-нянь, одержаних після підстановки шуканих полів у граничні умови на циліндрі.

$$b_0 = \frac{h_0}{J'_0(k_0 a) H_0^{(1)'}(k_0 a)}; \quad \varepsilon_n = 1 - \frac{\pi i (k_0 a)^2 I'_n(k_0 a) H_n^{(1)}(k_0 a)}{|n|};$$

$$x_n = (-1)^n n \frac{e^{in\alpha} h_n}{J'_n(k_0 a) H_n^{(1)'}(k_0 a)}, \quad (n \neq 0); \quad \varphi' = \varphi - \pi; \quad \vartheta' = \pi - \vartheta;$$

$$\sum_{n \neq 0} x_n e^{in\varphi'} = 0, \quad \vartheta' < |\varphi'| < \pi; \quad (6)$$

$$\sum_{n \neq 0} x_n \frac{|n|}{n} e^{in\varphi'} + 2\pi^2 \rho_0 \beta e^{-qr_0} i(k_0 a)^2 \sum_n \left(i \frac{1 + \sqrt{1 - \beta^2}}{\beta} \right)^n J'_n(k_0 a) e^{in(\varphi' + \vartheta')} =$$

$$-\sum_{n \neq 0} x_n \frac{|n|}{n} \varepsilon_n e^{in\varphi'} + i\pi (k_0 a) b_0 J'_0(k_0 a) H_0^{(1)'}(k_0 a) = 0, \quad \vartheta' > |\varphi'|;$$

$$\sum_{n \neq 0} \frac{(-1)^n}{n} x_n = -b_0.$$

Система функціональних рівнянь (6) за допомогою методу крайового завдання Рімана-Гільберта зводиться до еквівалентної системи лінійних алгебраїчних рівнянь:

$$x_m = i\pi (k_0 a) J'_0(k_0 a) H_0^{(1)'}(k_0 a) V_m^0(-u) b_0 + 2x_{-1} R_m(-u) +$$

$$+ \sum_{n \neq 0} x_n \frac{|n|}{n} \varepsilon_n V_m^n(-u) - i2(\pi k_0 a)^2 \rho_0 \beta e^{-qr_0} \sum_n \left(i \frac{1 + \sqrt{1 - \beta^2}}{\beta} \right) \times$$

$$J'_n(k_0 a) e^{in\alpha} V_m^n;$$

$$0 = -i\pi (k_0 a)^2 J'_0(k_0 a) H_0^{(1)'}(k_0 a) V_0^0(-u) b_0 + 2x_{-1} R_0 +$$

$$+ \sum_{n \neq 0} x_n \frac{|n|}{n} \varepsilon_n V_0^n(-u) - 2i(\pi k_0 a)^2 \rho_0 \beta e^{-qr_0} \times$$

$$\times \sum_n \left(i \frac{1 + \sqrt{1 - \beta^2}}{\beta} \right)^n J'_n(k_0 a) e^{in\alpha} V_0^n(-u); \quad (7)$$

$$-b_0 = -i\pi (k_0 a)^2 J'_0(k_0 a) H_0^{(1)'}(k_0 a) V_{[\sigma]}^0 b_0 + 2x_{-1} R_{[\sigma]}(-u) +$$

$$+ \sum_{n \neq 0} x_n \frac{|n|}{n} \varepsilon_n V_{[\sigma]}^n(-u) - 2i(\pi k_0 a)^2 \rho_0 \beta e^{-qr_0} \times \sum_n \left(i \frac{1 + \sqrt{1 - \beta^2}}{\beta} \right)^n \times$$

$$\times J'_n(k_0 a) e^{in\alpha} V_{[\sigma]}^n; \quad u = \cos \vartheta.$$

Коефіцієнти $V_m^n(-u)$, $V_{[\sigma]}^n(-u)$, $R_{[\sigma]}(-u)$, $R_m(-u)$ обчислені в роботі [1].

Автори висловлюють подяку проф. В. П. Шестопалову і доц. О. А. Третьякову за виявлений інтерес до роботи і допомогу при обговоренні її результатів.

ЛІТЕРАТУРА

1. З. С. Агранович, В. А. Марченко, В. П. Шестопалов. ЖТФ, 1962, 32, 4, 381.

КРИТИЧНІ ЧАСТОТИ ЗВ'ЯЗАНИХ ЖОЛОБКОВИХ ХВИЛЕВОДІВ

Г. К. Снурнікова

Жолобковий хвилевод являє собою відкриту лінію передачі, яка складається з двох паралельних металевих пластин з поズдовжніми прямокутними жолобами. Такі системи можна застосувати для каналізації енергії при сантиметровій і міліметровій довжині хвиль. Розглядається структура з двох жолобкових хвилеводів, з'єднаних по вузькій частині хвилевода (рис. 1).

Припустимо, що в системі поширяються H -хвилі. Вважаємо, що стінки хвилеводів ідеально провідні, всередині структури $\epsilon = \mu = 1$. Ширина жолобів хвилеводів однакова, розміри структури і вибрана система координат наведені на рис. 1. Виділимо в перерізі структури три області: область $1 - o < x < h$, $|y| \leq d$, область $2 - h < x < a$, $|y| \leq b$, область $3 - x > a$, $|y| \leq d$ і шукатимемо поле в кожній області. Поздовжню компоненту поля H_z в областях хвилевода запишемо у вигляді (множник $e^{-i\omega t}$ опущено):

$$H_{z1} = e^{iz} \sum_{m=0}^{\infty} a_m^{\text{sh}} q_m x \cos \times \\ \times \frac{\pi m}{2d} (y + d),$$

$$H_{z2} = e^{iz} \sum_{n=-\infty}^{\infty} (c_n e^{pn(x-h)} + d_n e^{-pn(x-h-a)}) e^{i \frac{\pi n}{b} y}, \quad (1)$$

$$H_{z3} = e^{iz} \sum_{m=0}^{\infty} b_m e^{qm(x-h-a)} \cos \frac{\pi m}{2d} (y + d),$$

де a_m , c_n , d_n , b_m — невідомі коефіцієнти Фур'є поля;

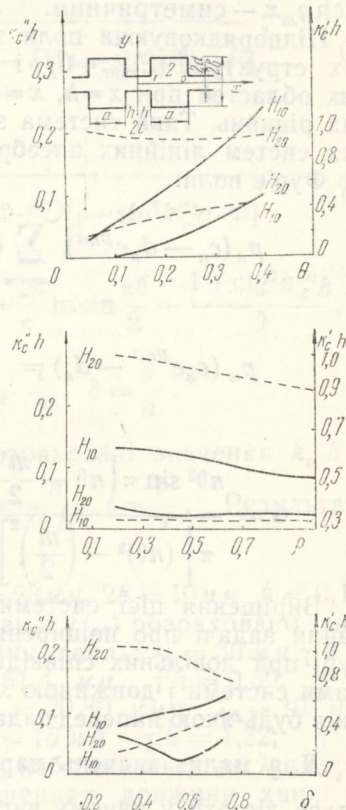


Рис. 1.

$p_n = i \sqrt{k^2 - \gamma^2 - \left(\frac{\pi n}{b}\right)^2}$, $q_m = i \sqrt{k^2 - \gamma^2 - \left(\frac{\pi m}{2d}\right)^2}$, знаки p_n , q_m вибрані так, що $\operatorname{Re} p_n > 0$, $\operatorname{Re} q_m > 0$; γ — шукана стала поширення; $k = \frac{2\pi}{\lambda_0}$, λ_0 — довжина хвилі у вільному просторі; $\operatorname{sh} q_m x$ відповідає несиметричним відносно $x = 0$ H — хвильам, а $\operatorname{ch} q_m x$ — симетричним.

Підпорядковуючи поля точним граничним умовам на стінках структури ($E_{\text{танг}} = 0$) і умовам неперервності поля на границях областей при $x = h$, $x = a$, одержуємо систему функціональних рівнянь. Така система зводиться [1, 2] до двох нескінчених систем лінійних алгебраїчних рівнянь відносно коефіцієнтів Фур'є поля:

$$p_n (c_n - d_n e^{p_n a}) \sum_{s=-\infty}^{\infty} (c_s + d_s e^{p_s a}) \sum_{m=0}^{\infty} q_m \operatorname{ctg} q_m h \cdot G,$$

$$p_n (c_n e^{p_n a} - d_n) = \sum_{s=-\infty}^{\infty} (c_s e^{p_s a} + d_s) \sum_{m=0}^{\infty} q_m \cdot G,$$

$$G = \frac{n \theta^2 \sin \pi \left(n \theta - \frac{m}{2} \right)}{\pi \left[(n \theta)^2 - \left(\frac{m}{2} \right)^2 \right]} \frac{s \theta \sin \pi \left(s \theta - \frac{m}{2} \right)}{\pi \left[(s \theta)^2 - \left(\frac{m}{2} \right)^2 \right]}, \quad \theta = \frac{d}{b}. \quad (2)$$

Вирішення цієї системи рівнянь являє собою точне розв'язання задачі про поширення електромагнітних хвиль у структурі при довільних співвідношеннях між геометричними розмірами системи і довжиною хвилі. Вирішення задачі можна знайти з будь-якою наперед заданою точністю.

Для малих значень параметра $\Theta = \frac{d}{b}$ ($\Theta^2 \ll 1$) вирішення вдається дістати у явному вигляді. Використовуючи результати робіт [1, 2] і припускаючи a таким, що $e^{p_n a} \ll 1$, одержимо такі трансцендентні дисперсійні рівняння для несиметричних $H_{\mu 0}$ -хвиль ($\mu = 1, 3, \dots$):

$$(1 - \psi \operatorname{ctg} k_c h) [(\psi - i) \operatorname{tg} k_c a + \theta] - \theta \operatorname{ctg} k_c h [(\psi - i) - \theta \operatorname{tg} k_c a] = 0, \quad (3)$$

для симетричних хвиль $H_{\mu 0}$ ($\mu = 2, 4, \dots$):

$$(1 + \psi \operatorname{tg} k_c h) [(\psi - i) \operatorname{tg} k_c a + \theta] + \theta \operatorname{tg} k_c h [(\psi - i) - \theta \operatorname{tg} k_c a] = 0 \quad (4)$$

$$\psi = 2\theta \frac{k_c b}{\pi} \ln \sin \frac{\pi \theta}{2}, \quad k_c = \sqrt{k^2 - \gamma^2}.$$

Запишемо вирішення рівнянь (3), (4) у вигляді $k_c = k_c^{(0)} + \Delta k_c$, де $k_c^{(0)}$ — критичне хвильове число закритого H -хвилевода, а Δk_c — деяка мала добавка ($\Delta k_c \ll k_c^{(0)}$). Тоді для Δk_c можна одержати явні формули:

несиметричні $H_{\mu 0}$ -хвилі

$$\Delta k_c h = \frac{1}{\operatorname{tg} k_c^{(0)} h + \frac{\sin 2k_c^{(0)} a}{2} F - D [\rho - \sin^2 k_c^{(0)} a \cdot F]} ; \quad (5)$$

симетричні $H_{\mu 0}$ -хвилі

$$\Delta k_c h = \frac{1}{\operatorname{ctg} k_c^{(0)} h - \frac{\sin 2k_c^{(0)} a}{2} \cdot \Phi + D [\rho - \sin^2 k_c^{(0)} a \cdot \Phi]} , \quad (6)$$

$$F = \frac{2\delta}{\pi} \ln \sin \frac{\pi\theta}{2} - \frac{1 + \operatorname{tg}^2 k_c^{(0)} h}{\theta}, \quad \Phi = \frac{2\delta}{\pi} \ln \sin \frac{\pi\theta}{2} - \frac{1 + \operatorname{ctg}^2 k_c^{(0)} h}{\theta},$$

$$D = \frac{2\delta}{\pi} k_c^{(0)} h \ln \sin \frac{\pi\theta}{2} - \frac{i}{\theta}, \quad \delta = \frac{b}{h}.$$

За формулами (5), (6) були розраховані значення $k_c h$ в залежності від параметрів $\theta = \frac{d}{b}$, $\sigma = \frac{h}{l}$, $\rho = \frac{b}{l}$. Результати приведені на графіках (рис. 1).

Для структури з розмірами $2l = 23\text{мм}$, $2b = 10\text{мм}$, $\theta = 0,14$, $\sigma = 0,4$, $\rho = 0,435$ ($\lambda_c = 111\text{мм}$ для хвилі H_{10}) розраховано значення $\gamma = \gamma' + i\gamma''$ для різної довжини хвиль: $\lambda_0 = 30\text{мм}$ $\gamma'h = 0,91$; $\gamma'' = 0,0045 \text{ дб/см}$; $\lambda_0 = 61,4 \text{ мм}$ $\gamma'h = 0,30$, $\gamma'' = 0,0113 \text{ дб/см}$. Для хвилі H_{20} ($\lambda_c = 20,30 \text{ мм}$): $\lambda_0 = 10 \text{ мм}$; $\gamma'h = 2,48$; $\gamma'' = 0,0258 \text{ дб/см}$; $\lambda_0 = 15 \text{ мм}$ $\gamma'h = 1,32$; $\gamma'' = 0,0505 \text{ дб/см}$. Бачимо, що коли λ_0 наближається до λ_c , втрати зростають. При постійних значеннях довжини хвилі λ_0 втрати зростають із збільшенням θ .

Зв'язані жолобкові хвилеводи можна розглядати як хвилеводи з поздовжніми щілинами, причому щілини можуть бути більше або менше зазору хвилевода. Для значень $\tilde{\theta} < \theta$ ($\tilde{\theta} = \frac{d_1}{b}$, $2d_1$ — висота щілини) $\lambda_{c\tilde{\theta}} < \lambda_{c\theta}$, при $\tilde{\theta} > \theta$ $\lambda_{c\tilde{\theta}} > \lambda_{c\theta}$.

ЛІТЕРАТУРА

1. В. Г. Сологуб. Сб. «Радіотехника», вып. 4, Изд-во ХГУ, Харьков, 1967.
2. В. Г. Сологуб, В. П. Шестопалов, Г. Г. Половников. ЖТФ, 1967, 37, 4.

СИМЕТРИЧНІ ХВИЛІ В ГІРОТРОПНОМУ ШАРІ ПЛАЗМИ НА ЛОГАРИФМІЧНІЙ СПІРАЛІ

К. П. Яцук, В. В. Биховець, С. І. Арсеньєва

Плоска логарифмічна спіраль може бути використана в радіальній ЛБХ [1—2]. Оскільки присутність анізотропного середовища може поліпшити енергетичні характеристики системи [3], цікаво розглянути властивості системи спіраль на гіротропному шарі плазми.

Шар плазми товщиною a обмежено площею ($z = 0$) і спіраллю ($z = a$), що розглядається в наближенні анізотропно прямідної площини [3]. Постійне магнітне поле H_0 спрямоване вздовж осі z .

Задачу розв'язуємо методом часткових областей (І область $0 < z < a$, ІІ область $a < z < \infty$). У першій області рівняння Maxwellла при врахуванні гідродинамічної взаємодії хвиль з плазмою набувають вигляду

$$\operatorname{rot} \vec{H} = \frac{1}{c} \frac{\partial \vec{D}}{\partial t}$$

$$\operatorname{rot} \vec{E} = -\frac{1}{c} \frac{\partial \vec{H}}{\partial t}, \quad (1)$$

де

$$\vec{D} = \|\varepsilon\| \vec{E}$$

$$\|\varepsilon\| = \begin{vmatrix} \varepsilon_1 & i\varepsilon_2 & 0 \\ -i\varepsilon_1 & \varepsilon_2 & 0 \\ 0 & 0 & \varepsilon_3 \end{vmatrix} \quad (2)$$

$$\varepsilon_1 = 1 + \frac{\omega_0^2}{\omega_H^2 - \omega^2}; \quad \varepsilon_2 = \frac{\omega_H}{\omega} \frac{\omega_0^2}{\omega^2 - \omega_H^2};$$

$$\varepsilon_3 = 1 - \frac{\omega_0^2}{\omega^2}; \quad (2a)$$

$$\omega_0^2 = \frac{4\pi e^2 n_0}{m}; \quad \omega_H = \frac{e H_0}{mc}.$$

Тут e і m — заряд і маса електрона відповідно; n_0 — зрівноважена щільність плазми; H_0 — напруженість постійного магнітного поля; c — швидкість світла.

Для радіальних хвиль, що розповсюджуються від центра в бік зростання r , при часовій залежності $e^{-i\omega t}$ складові полів

E і H можна взяти пропорціональними $H_0^{(1)}(\gamma r)$, а інші компоненти — $H_1^{(1)}(\gamma r)$ (функції Ханкеля 1-го роду нульового і першого порядку від γr , де γ — постійна розповсюдження вздовж r). Тоді вирішення рівнянь (1) приведе до таких виразів для компонентів полів:

$$H_\varphi = -\frac{ik\varepsilon_3}{k^2\varepsilon_3 - \gamma^2} \frac{\partial E_r}{\partial z}; \quad E_z = \frac{\gamma}{k^2\varepsilon_3 - \gamma^2} \frac{\partial E_r}{\partial z};$$

$$E_\varphi = \frac{ik}{\gamma} H_z; \quad H_r = -\frac{1}{\gamma} \frac{\partial H_z}{\partial z}, \quad (3)$$

а для компонентів E_r і H_z дістанемо рівняння

$$\frac{\partial^2 E_r}{\partial z^2} + a' E_r = b H_z; \quad (4)$$

$$\frac{\partial^2 H_z}{\partial z^2} + a'' H_z = d E_r,$$

де $a' = \frac{\varepsilon_1}{\varepsilon_3} (k^2 \varepsilon_3 - \gamma^2); \quad a'' = k^2 \varepsilon_1 - \gamma^2;$

$$b = \frac{k\varepsilon_2}{\gamma\varepsilon_3} (k^2 \varepsilon_3 - \gamma^2); \quad d = k\gamma\varepsilon_2.$$

Тут $k = \frac{2\pi}{\lambda_0}$; λ_0 — постійна розповсюдження і довжина хвилі у вільному просторі; $\gamma = \frac{\omega}{v_\phi}$; v_ϕ — фазова швидкість хвиль у системі вздовж радіуса.

Систему рівнянь (4) можна розв'язати, ввівши лінійну комбінацію [5]:

$$\psi = E_r + \Lambda H_z. \quad (5)$$

Після цього система (4) перетворюється до вигляду

$$\frac{\partial^2 \psi}{\partial z^2} - \chi_{1,2}^2 \psi = 0, \quad (6)$$

де

$$\chi_{1,2}^2 = \Lambda_{1,2} d - a', \quad (7)$$

а $\Lambda_{1,2}$ — корені квадратного рівняння

$$\Lambda^2 + \Lambda \frac{a'' - a'}{d} - \frac{b}{d} = 0. \quad (8)$$

Вирішення рівняння (8) дає

$$\Lambda_{1,2} = \frac{\varepsilon_1 - \varepsilon_3}{2\varepsilon_1\varepsilon_3} \frac{\gamma}{k} \left[-1 \pm \sqrt{1 + \frac{4k^2 \varepsilon_2^2 \varepsilon_3 (k^2 \varepsilon_3 - \gamma^2)}{\gamma^4 (\varepsilon_1 - \varepsilon_3)^2}} \right] \quad (9)$$

і відповідно

$$\chi_{1,2} = \sqrt{\gamma^2 \frac{\varepsilon_1 - \varepsilon_3}{2\varepsilon_3}} \left[-1 \pm \sqrt{1 + \frac{4k^2 \varepsilon_2^2 \varepsilon_3 (k^2 \varepsilon_3 - \gamma^2)}{\gamma^4 (\varepsilon_1 - \varepsilon_3)^2}} \right] - \frac{\varepsilon_1 (k^2 \varepsilon_3 - \gamma^2)}{\varepsilon_3}. \quad (10)$$

Розв'язання (6) для двох значень χ одержимо у вигляді

$$\begin{aligned} \psi_1 &= A e^{-\chi_1 z} + B e^{\chi_1 z}; \\ \psi_2 &= C e^{-\chi_2 z} + D e^{\chi_2 z}. \end{aligned} \quad (11)$$

З рівняння (5) одержимо

$$H_z = \frac{\psi_1 + \psi_2}{\Lambda_1 - \Lambda_2}; \quad E_r = \frac{\Lambda_2 \psi_1 - \Lambda_1 \psi_2}{\Lambda_2 - \Lambda_1}. \quad (12)$$

Інші компоненти полів визначаємо з (3), враховуючи (12).

Для другої області поля записуються аналогічно [2]. При $z=a$ застосовуються граничні умови для випадку анізотропно провідної площини [2], при $z=0$ тангенціальні складові електричного поля $E_r = E_\varphi = 0$. Дисперсійне рівняння одержуємо у вигляді

$$p \frac{k^2 \varepsilon_3}{k^2 \varepsilon_3 - \gamma^2} \cdot \frac{\chi_1 \Lambda_2}{1 - e^{2\chi_1 a}} - \frac{\chi_2 \Lambda_1}{1 - e^{2\chi_2 a}} \operatorname{ctg}^2 \Phi = (13)$$

$$= p \frac{\chi_1 \Lambda_1}{1 - e^{2\chi_1 a}} - \frac{\chi_2 \Lambda_2}{1 - e^{2\chi_2 a}} - k^2 \operatorname{ctg}^2 \Phi + p^2,$$

де $p^2 = \gamma^2 - k^2$.

Граничні переходи приводять до раніше відомих рівнянь для вільної спіралі, спіралі на шарі ізотропного діелектрика (плазми) [2, 3].

Опір зв'язку для радіальних систем має вигляд [3]:

$$R_{3B} = \frac{E_z^2}{2\gamma^2 P}, \quad (14)$$

де

$$P = \frac{c}{8\pi} \operatorname{Re} \int_s [\vec{E} \vec{H}^*]_r ds.$$

Підставляючи в (14) значення для полів з (3) і (12), дістаємо вираз для опору зв'язку, який ми тут не наводимо через його громіздкість.

За одержаними формулами були розраховані дисперсійні криві та опір зв'язку для випадку ізотропної і гіротропної плазми.

Ізотропна плазма. На рис. 1 сувільними лініями зображені дисперсійні криві, а пунктирними — нормовані (до вільної спіралі) опори зв'язку. Крива 1 — дисперсійна пряма для вільної спіралі, криві 2, 3, 4 — для $\omega_0 = 200, 500$ і 1000 мгц відповідно. Видно, що із зростанням щільності плазми уповільнення зменшується, з підвищеннем $k \operatorname{actg} \Phi$ воно прямує до уповільнення

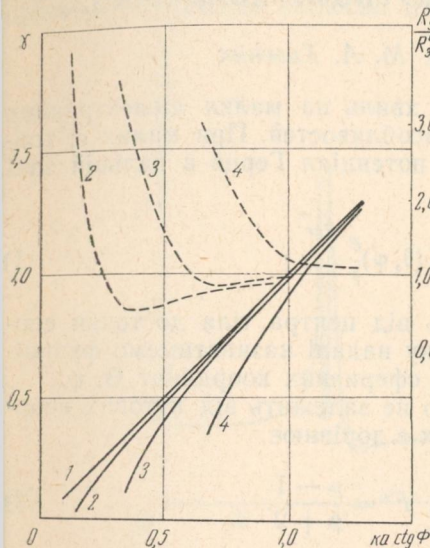


Рис. 1.

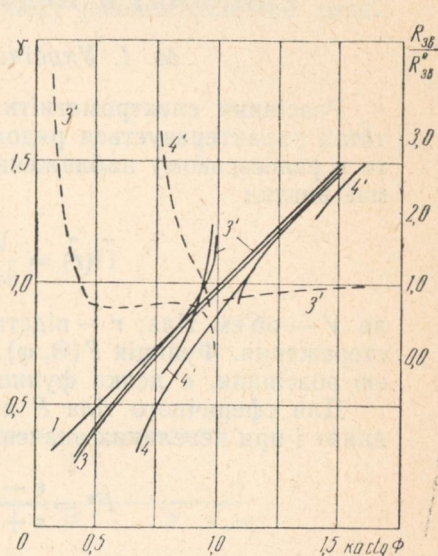


Рис. 2.

вільної спіралі. Опір зв'язку може бути більше, ніж у вільної спіралі, а менша крутізна кривої R_{3B}/R_{3B}^0 відповідає більшим $k \operatorname{actg} \Phi$ та ω_0 .

Гіротропна плазма. На рис. 2 наведено дисперсійні характеристики (суцільні криві) і опори зв'язку при $\omega_n = 1500$ мгц для різних щільностей плазми. Індексами без штрихів позначені криві для ізотропної плазми, а з штрихами — для гіротропної. Видно, що для гіротропного випадку виникають розриви дисперсійних кривих, викликані циклотронним резонансом, а опір зв'язку може бути більшим, ніж в ізотропному випадку.

ЛІТЕРАТУРА

1. В. С. Савельев. «Радиотехника и электроника», 1967, 12, № 6, 1018.
2. В. П. Сазонов. «Электроника», 1959, 1, № 6, 80.
3. К. П. Яцук, В. И. Молявко, А. В. Поладич. Изв. вузов, «Радиоэлектроника», 1968, 11, № 12, 1251.
4. Я. Б. Файнберг, М. Ф. Горбатенко. ЖТФ, 1959, 29, вып. 5, 549.
- 3 3126

5. Г. Сул, Л. Уокер. Вопросы волноводного распространения электромагнитных волн в гиротропных средах. Изд-во иностр. лит-ры, М., 1955.

ДОСЛІДЖЕННЯ РЕЗОНАНСНОГО РОЗСІЯННЯ ЕЛЕКТРОМАГНІТНИХ ХВІЛЬ НА ДІЕЛЕКТРИЧНОМУ ЕЛІПСОЇДІ В ПРЯМОКУТНОМУ ХВИЛЕВОДІ

М. І. Українець, М. А. Хижняк

Розсіяння електромагнітних хвиль на малих діелектрических тілах характеризується рядом особливостей. При малих ϵ , тобто в релеєвському наближенні, потенціал Герца в дальній зоні має вигляд

$$\vec{\Pi}(\vec{r}) = \frac{V}{4\pi} \vec{F}(\theta, \varphi) \frac{e^{-ikr}}{r}, \quad (1)$$

де V — об'єм тіла; r — відстань від центра тіла до точки спостереження. Функція $F(\Theta, \varphi)$, яку надалі називатимемо функцією розсіяння, є деяка функція сферичних координат Θ, φ .

Для сферичного тіла F явно не залежить від кутових координат і при невеликих значеннях ϵ дорівнює

$$F^e = \frac{\epsilon - 1}{\epsilon + 2}, \quad F^m = \frac{\mu - 1}{\mu + 2}. \quad (2)$$

Із зростанням діелектричної проникності тіла величина F стає змінною, бо при $ka\sqrt{\epsilon} \approx 1$ (але $ka \ll 1$) починається резонансне розсіяння. Тоді

$$F^e = \frac{\epsilon U(ka\sqrt{\epsilon}) - 1}{\epsilon U(ka\sqrt{\epsilon}) + 2}, \quad F^m = \frac{U(ka\sqrt{\epsilon}) - 1}{U(ka\sqrt{\epsilon}) + 2}, \quad (3)$$

де $U(x)$ — функція частоти, що дорівнює

$$U(x) = \frac{2(\sin x - x \cos x)}{(x^2 - 1)\sin x + x \cos x}. \quad (4)$$

При $x \ll 1$, $U(x) \rightarrow 1$ і (3) збігається з (2). При $x > 1$ вона є знакомінною функцією і у випадку $\epsilon U(ka\sqrt{\epsilon}) + 2 = 0$ $U(ka\sqrt{\epsilon}) + 2 = 0$ визначає геометричні резонанси електричного або магнітного типу в розсіянні хвиль на кульках. Тепер ці резонанси ретельно вивчаються, оскільки вони знаходять різноманітні застосування у радіофізиці [1—4].

При $\epsilon \rightarrow \infty$ (це відповідає розсіянню хвиль на металевій кульці) знаходимо

$$F^e = 1. \quad (5)$$

Ці висновки ґрунтуються на результатах точного вирішення задачі про розсіяння хвиль на кульці [5]. Але до цього часу така задача ще не розв'язана для випадку розсіяння хвиль на діелектричному еліпсоїді. Можна сподіватися, що і у випадку діелектричного еліпсоїда матимуть місце геометричні резонанси, але їх розташування і структура будуть істотно залежати від орієнтації еліпсоїда відносно напрямку розповсюдження хвилі.

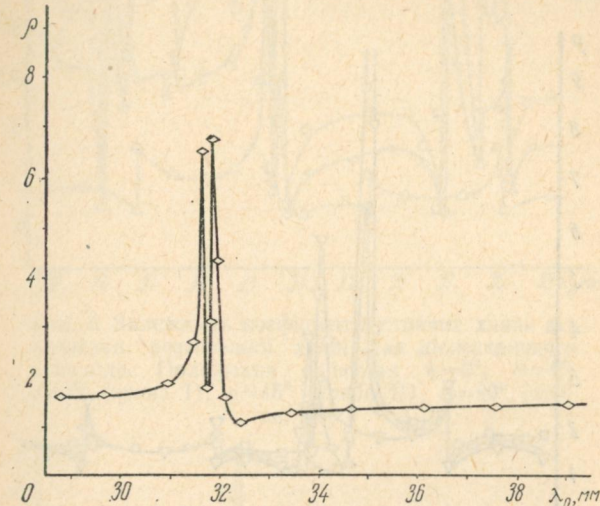


Рис. 1. Залежність коефіцієнтів стоячих хвиль від довжини розсіюваної хвилі для кульки діаметром 5 мм (чітко виявлені резонанси магнітного типу другого порядку).

У цій роботі викладено результати експериментального дослідження функції $F(\Theta, \varphi)$ для діелектричного еліпсоїда в резонансній області. Еліпсоїд обертання з титанату барію ($\epsilon = 151$, $\operatorname{tg}\delta = 0,002$) вміщували в прямокутний хвилевод і досліджували коефіцієнт відбиття основної хвилі. Оскільки коефіцієнт відбиття по полю пропорціональний $F(\Theta, \varphi)$, то безпосередньо вивчалася залежність коефіцієнта відбиття від частоти для різної орієнтації еліпсоїда відносно осей хвилевода. Розміри еліпсоїда: $2a = 10$ мм, $2b = 5$ мм. Вимірювання здійснювалися у хвилеводі $12,6 \times 28,5$ мм. Початкове положення еліпсоїда в хвилеводі було: $x_0 = 0,5 d$; $y_0 = 0,5 h$; $\Theta = 0^\circ$; $\varphi = 0^\circ$; $\psi = 0^\circ$, де Θ — кут між великою віссю еліпсоїда $2a$ і поздовжньою віссю з хвилеводом; d та h — розміри широкої і вузької стінок хвилевода відповідно.

Діелектричний еліпсоїд обертали в хвилеводі по кутах Ейлера: Θ — кут прецесії; φ — кут нутації; ψ — кут чистого обертання. Обертання і відлік кутів здійснювали за допомогою оп-

3*

тичного квадранта типу КО-1М. Значення коефіцієнтів стоячих хвиль, більших 3, вимірювалися за методикою, що застосовується для вимірювання великих КСХ. Коефіцієнти стоячих хвиль вдалини від резонансів визначалися звичайним методом

як $\sqrt{\frac{A_{\max}}{A_{\min}}}$ з урахуванням градуйованої кривої для детектора

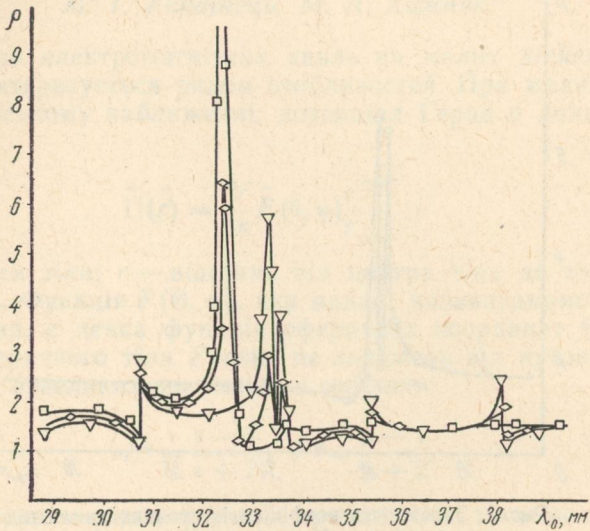


Рис. 2. Залежність коефіцієнтів стоячих хвиль від довжини розсіюваної хвилі для діелектричного еліпсоїда. Положення еліпсоїда $\varphi=0^\circ$, $\psi=0^\circ$, $\Theta=0^\circ$ (крива I), $\Theta=45^\circ$ (крива II), $\Theta=90^\circ$ (крива III).

Зв'язок між модулем коефіцієнта відбиття $|\Gamma|$ і коефіцієнтом стоячої хвилі ρ , як відомо, має вигляд

$$|\Gamma| = \frac{\rho - 1}{\rho + 1}.$$

Для порівняння знято залежність коефіцієнтів стоячих хвиль від довжини хвилі для кульки Ø5 мм, виготовленої з того самого матеріалу, що й еліпсоїд (рис. 1). Діаметр кульки дорівнює меншій осі еліпсоїда.

Результати вимірювань наведені на рис. 2—4. Одержані результати свідчать про існування магнітних і електричних резонансів у еліпсоїді, але характер їх стає значно складнішим ніж у випадку діелектричної кульки. Насамперед, залишається основний резонанс на довжині хвилі, дещо зміщеної відносно резонансної довжини хвилі кульки. Далі з рис. 2 випливає, що

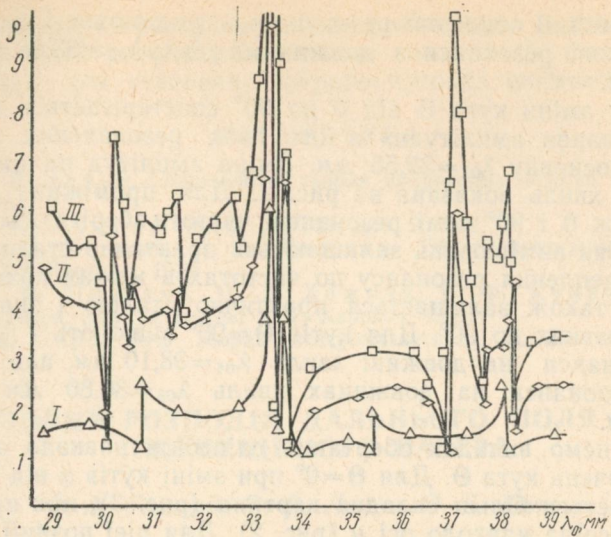


Рис. 3. Залежність коефіцієнтів стоячих хвиль від довжини розсіюваної хвилі для діелектричного еліпсоїда. Положення еліпсоїда $\psi=0^\circ$, $\Theta=0^\circ$, $\varphi=0^\circ$ (крива I), $\varphi=45^\circ$ (крива II), $\varphi=90^\circ$ (крива III).

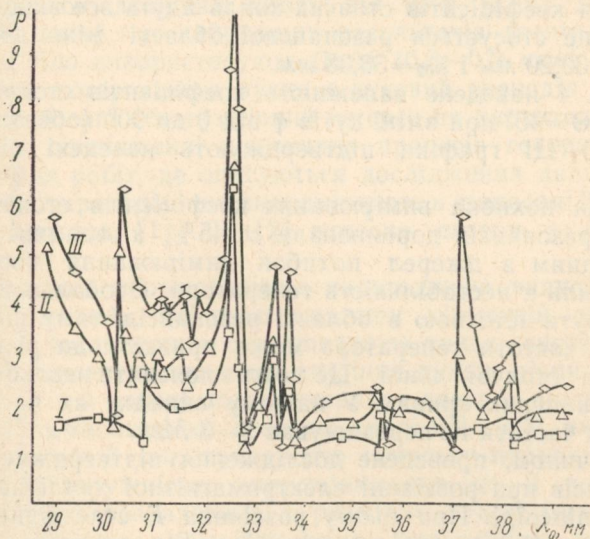


Рис. 4. Залежність коефіцієнтів стоячих хвиль від довжини розсіюваної хвилі для діелектричного еліпсоїда. Положення еліпсоїда $\psi=0^\circ$, $\Theta=45^\circ$, $\varphi=0^\circ$ (крива I), $\varphi=45^\circ$ (крива II), $\varphi=90^\circ$ (крива III).

для цієї позиції основний резонанс розщеплюється і виникають два додаткові резонанси з довжинами хвиль $\lambda_{02}=33,38$ мм; $\lambda_{03}=33,63$ мм.

В міру зміни кута Θ від 0 до 90° спостерігається немовби «перекачування амплітуди» з цих двох резонансних довжин хвиль на основну $\lambda_{01}=32,56$ мм. Зміна амплітуд на цих трьох довжинах хвиль показана на рис. 2. Для проміжних значень кута Θ між 0 і 90° самі резонансні частоти зберігаються і в межах похибки вимірювань залишаються практично сталими. Ширина розщеплення резонансу по частотах в межах похибки вимірювань також залишається практично сталою і зникає при кутах, близьких до 90° . Для кутів $\Theta=90^\circ$ зникають і додаткові малі резонанси на довжині хвилі $\lambda_{04}=38,10$ мм, але зберігаються резонанси на довжинах хвиль $\lambda_{05}=30,80$ мм і $\lambda_{06}=35,45$ мм.

Розглянемо випадок обертання еліпсоїда навколо осі x для різних значень кута Θ . Для $\Theta=0^\circ$ при зміні кутів φ від 0 до 90° спостерігається більш складна картина (рис. 3), ніж при обертанні еліпсоїда навколо осі y (рис. 2). Для цієї позиції (рис. 3) характерним є те, що всі резонанси позиції I (рис. 2) зберігаються, але амплітуди на цих частотах значно збільшуються. Крім того, виникають нові резонанси на довжинах хвиль $\lambda_{07}=30,20$ мм та $\lambda_{08}=37,10$ мм. До того ж в міру збільшення кута φ криві для коефіцієнтів стоячих хвиль йдуть все вище й вище. Особливо це стосується резонансної області між довжинами хвиль $\lambda_{07}=30,20$ мм і $\lambda_{02}=33,38$ мм.

На рис. 4 наведено залежність коефіцієнтів стоячих хвиль від λ_0 для $\Theta=45^\circ$ при зміні кутів φ від 0 до 90° (обертання навколо осі x). Ці графіки підтверджують наведені вище висновки.

Відносна похибка вимірювання коефіцієнтів стоячих хвиль в області резонансів дорівнювала $\pm 4,5\%$, а вдалині від них $\pm 1,5\%$. Одним з джерел похибок вимірювання коефіцієнтів стоячих хвиль є нестабільність генератора. Особливо ця помилка може бути істотною в області резонансів, тому що незначний відхід частоти генератора може привести до різкої зміни коефіцієнта стоячої хвилі. Це можна пояснити високою добробітністю резонансних кривих. У нашому випадку за час вимірювань відхід частоти не перевищував 2—3 Мгц.

Таким чином, проведене дослідження підтверджує існування резонансів при розсіянні електромагнітної хвилі на діелектричному еліпсоїді. При цьому розсіяння F стає функцією полярних кутів Θ, φ , а самі умови виникнення резонансів залежать від цих кутів. Змінюючи відносну орієнтацію еліпсоїда, можна керувати висотою і положенням резонансів, що відкриває нові можливості для синтезу різних НВЧ пристрій з використанням резонансних діелектричних еліпсоїдів.

Слід звернути увагу на істотне розширення резонансної області на рівні коефіцієнтів стоячих хвиль 4—5, що відкриває можливості для створення широкосмугових елементів НВЧ.

ЛІТЕРАТУРА

1. И. Л. Левин. Современная теория волноводов. Изд-во иностр. литер., М., 1954.
2. Н. А. Хижняк. ЖТФ, 1957, 27, вып. 9, 2027.
3. А. И. Козарь, Н. А. Хижняк. Сб. «Радиотехника», вып. 14. Изд-во ХГУ, Харьков, 1970.
4. Е. Л. Пиротти, Н. А. Хижняк, В. Ф. Кравченко. Сб. «Радиотехника», вып. 14. Изд-во ХГУ, Харьков, 1970.
5. Дж. Стрэттон. Теория электромагнетизма. М., Гостехиздат, 1948.

КУТОВИЙ РОЗПОДІЛ ДАЛЬНЬОГО ПОЛЯ GaAs ІНЖЕКЦІЙНОГО ЛАЗЕРА

В. А. Єпішин, О. В. Литов, О. Б. Катрич¹

Завдяки таким перевагам, як незначні розміри і простота конструкції, високий к. к. д. і простота збудження, інжеекційні НКГ є приладами, перспективними для широкого використання. Шляхом зміни складу напівпровідника можна перекрити широкий діапазон довжин хвиль від 0,33 (ZnS) до 8,5 мкм (PbSe). У даний час найкращих результатів досягнуто в НКГ, де робоче тіло використовують GaAs (0,8—0,9 мкм). Важливим параметром когерентного пучка є кутовий розподіл інтенсивності в дальній зоні (безсумнівний інтерес ця характеристика має також при дослідженні кінетичних процесів генерації). Опубліковано ряд робіт, де описуються дослідження дальнього поля для різних переходів, що випромінюють в діапазоні 0,8—1,1 мкм (див., наприклад, [1]). В [2] описано лазери з стрічковими контактами.

Вітчизняною промисловістю налагоджено випуск інжеекційних НКГ на GaAs, які працюють при кімнатній температурі. Цікавим є дослідження спрямованості таких систем і залежності цієї характеристики від старіння діодів, рівня накачування, тощо. У цій роботі досліджувалися лазерні діоди типу LD-11, що випромінюють на довжині хвилі $0,9 \pm 0,02$ мкм, з частотою слідування 6 кгц, тривалістю імпульсу порядку 0,2 мксек і середньою потужністю випромінювання до 3 мвт. Границя дальньої зони, розрахована з розмірів випромінюючої грани кристала (порядку 100×200 мкм), знаходиться на відстані приблизно 40 мм. Але оскільки кристал конструктивно розміщений між струмопровідними контактами, що утворюють рупор з боку виходу випромінювання, важко було апріорі передбачити вплив рупора на формування пучка. Тому межа даль-

ньої зони визначалася з порівняння експериментальної залежності нормованої інтенсивності випромінювання від відстані по осі пучка (R) з графіком функції $\frac{1}{R^2}$. Приклад такого порівняння наведено на рис. 1. Видно, що за межу дальньої зони можна брати відстань близько 30 мм і рупор не впливає на формування пучка.

Близька межа дальньої зони дозволила використати методи прямого вимірювання. Застосовувалися два методи зняття

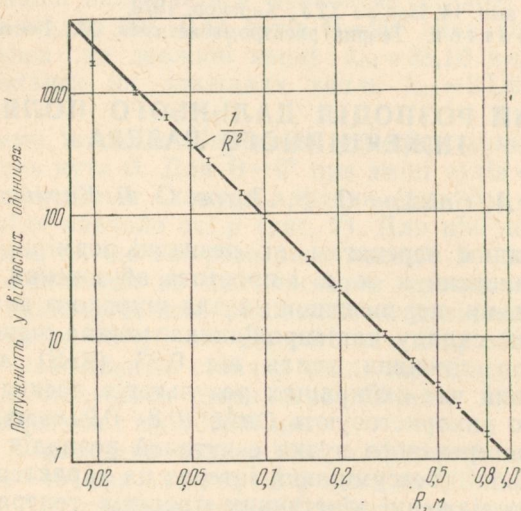


Рис. 1. Графік, що характеризує границю дальньої зони лазера.

кутового розподілу інтенсивності дальнього поля. Перший заснований на переміщенні приймача 14 -сигналу в поперечній до напрямку випромінювання площині. Кутові розміри розподілу визначалися за замірами відповідних розмірів плями в двох взаємно перпендикулярних площинах, розташованих на певній відстані. При цьому кут розходження дорівнює

$$\frac{\Theta}{2} = \arctg \frac{D-d}{2\Delta R}, \quad (1)$$

де Θ — кут розходження; D і d — розміри плям у двох площинах, відстань між якими дорівнює ΔR . Обидві площини повинні бути розташовані в дальній зоні, однак в нашому випадку розходження пучка велике, а межа дальньої зони достатньо

близька до апертури. Тому, якщо брати ΔR 0,5—1,0 м, а першу площину вимірювання — біля межі дальньої зони, то $D \gg d$ і

$$\frac{\theta}{2} \approx \operatorname{arctg} \frac{D}{2\Delta R}. \quad (2)$$

Похибка, за рахунок використання (2) замість (1), набагато менша сумарної похибки експерименту. У [4] та ряді інших робіт в описі цього методу допущено неточність. Там без застережень вказується, що одна з площин може бути розташована безпосередньо біля випромінюючої грані. Однак це може привести до великих помилок при вимірюванні кута розходження, наприклад, якщо другу площину при цьому брати в районі межі дальньої зони. У другому випадку приймач 14-сигналу залишався нерухомим, а НКГ міг обертатися навколо двох взаємно перпендикулярних, а також перпендикулярних площин $p-p'$ переходу осей, що перетинаються в місці розташування випромінюючої грані. Оскільки телесний кут, в якому розповсюджується випромінювання, відносно малий, то одержаний таким чином розподіл на сфері мало відрізняється від розподілу у відповідній площині. Крім того, порівнюватися при змінах якого-небудь параметра будуть криві, одержані одним методом.

В усіх випадках приймачем випромінювання є фотодіод ФД-2, що працює у фотодіодному режимі. Сигнал з нього підсилюється в режимі вузької смуги міковольтметром В-6-4, настроєним на частоту слідування імпульсів 6 кгц, і через детектор подається на y — вхід самописця ПДС-21. Переміщення пера самописця синхронізується з переміщенням приймача або поворотами лазера за допомогою реохордів. Сумарна відносна похибка експерименту в основному визначається класом точності приладів і не перевищує 8%. Однак в першому методі додалася систематична похибка за рахунок залежності відгука фотодіода від кута падіння випромінювання (оскільки чутлива поверхня фотодіода розміщена в заглибленні корпусу). За рахунок цього похибка первого методу збільшується до 15%.

Дослідження проводилися для шести зразків лазерних діодів ЛД-11. Порівнювалися розподіли при різних рівнях накачування і стажах роботи діодів вздовж та перпендикулярно $p-p'$ переходу. Оскільки обсяг даної роботи не дозволяє привести всі графічні матеріали, ми подаємо лише деякі розподіли, а висновки робимо на основі всіх вимірювань.

На рис. 2, 3 наведено криві розподілів при різних рівнях накачування. Середня потужність випромінювання змінюється від 0,2 мвт (що не значно перевищує порогову потужність) до 2,8 мвт. Це відповідає зміні інжекційного струму приблизно від

30 до 80 а в імпульсі. Видно, що при зростанні потужності пляма в напрямку, паралельному до $p-n$ переходу, значно «розділяється», причому кількісна залежність варіюється в досить широких межах від зразка до зразка. У перпендикулярному напрямку розподіл значно менше, але помітно звужується. Якісно це можна пояснити таким чином: світлова пляма на

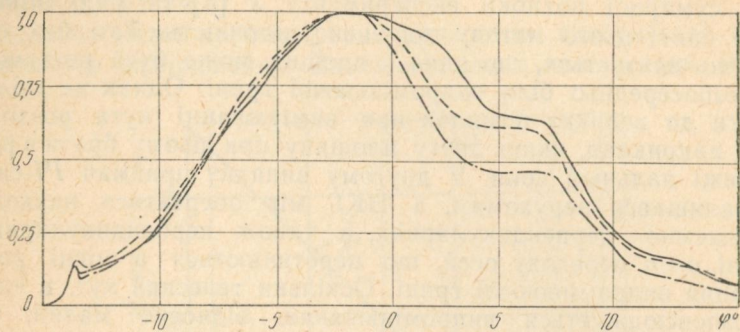


Рис. 2. Розподіли інтенсивності дальнього поля при різних рівнях накачування в напрямку, перпендикулярному до $p-n$ переходу, — середня потужність випромінювання $P_{\text{випр}} = 0,2 \text{ мвт}$, (навколо порогу); — — — $P_{\text{випр}} = 1,2 \text{ мвт}$, — · · · $P_{\text{випр}} = 2,8 \text{ мвт}$.

випромінюючій грані кристала має розміри декілька десятків мкм вздовж $p-n$ переходу і декілька мкм в перпендикуляр-

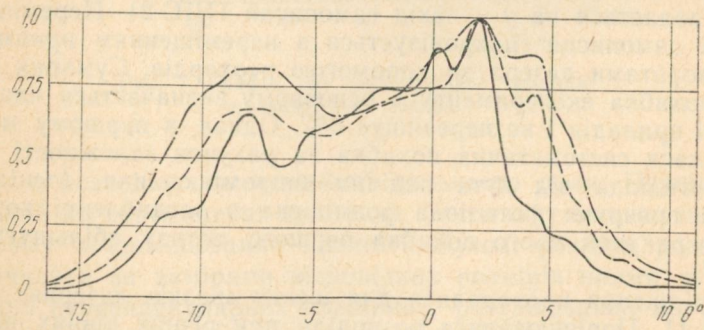


Рис. 3. Розподіли інтенсивності дальнього поля при різних рівнях накачування в напрямку, паралельному переходу.

ному напрямку (див., наприклад, [5]). При довжині кристала 250 мкм це обумовлює значення ефективних чисел Френеля в кілька десятків і кілька десятих відповідно. Це приводить до того, що із зростанням рівня накачування кількість збуджуваних типів коливань збільшується, однак всі вони мають най-

нижчий індекс у напрямку, перпендикулярному до переходу, а згідно з [6] кут розходження випромінювання залежить від номера найвищої збуджуваної моди. Деяке звуження випромінювання в перпендикулярному до переходу напрямку при збільшенні інжекційного струму відбувається за рахунок проникнення електронів і дірок на більшу відстань в r та n області



Рис. 4. Рельєф плями дальнього поля $P_{\text{випр}} = 0,2 \text{ мвт.}$

відповідно і збільшення розмірів світлової плями на вихідній апертурі. Оскільки в цьому напрямку розподіл поля на апертурі має просту форму, близьку до розподілу основної моди плоско-паралельного або сферичного (за рахунок ефективної лінзовості активного середовища) резонатора, кут розходження на рівні 0,5 можна оцінити таким чином:

$$\varphi = \frac{\lambda}{\rho}, \quad (3)$$

де ρ — розмір плями на випромінюючій апертурі; λ — довжина хвилі; φ — кут розходження. З рис. 2 видно, що $\varphi \approx 0,28 \text{ рад}$ (кут такого порядку типовий для дослідження лазерів). Тоді з (3) одержимо $\rho \approx 3,2 \text{ мкм}$, що добре узгоджується з типовими значеннями цієї величини, які наводяться в літературі, і таким чином, підтверджує викладене вище якісне пояснення залежності розподілів від рівня накачування.

Дослідження розподілів у залежності від часу показали, що із старінням діодів розміри плями в напрямку вздовж переходу збільшуються і незначно зменшуються в перпендикулярному напрямку. У площині, паралельній $r - n$ переходу, ці зміни виражені більш яскраво при малих рівнях накачування, ніж при великих. Це пояснюється вказаними вище особливостями модової структури генерації.

При малих рівнях накачування характер випромінювання лазерного переходу якісно такий самий, як і при дифракції на прямокутній щілині. Тобто, якщо поблизу апертури розмір поля більший в напрямку більшої сторони, то в міру розповсюдження відбувається ніби поворот плями на 90° і в дальній зоні розмір пучка в напрямку меншої сторони стає більшим. Вперше про дифракцію такого роду при генерації на рубіні при малому рівні накачування повідомляється в [3]. На рис. 4 зоб-

ражено рельєф плями дальнього поля при потужності випромінювання, близькій до порогової, що демонструє описаний ефект в досліджуваних лазерах. Ширина плями вздовж переходу суттєво вужче, ніж в перпендикулярному напрямку, тоді як при достатньо великих «робочих» потужностях (порядку 1 мвт і більше) це величини одного порядку.

ВИСНОВКИ

1. Діаграми і кути розходження випромінювання лазерних діодів типу ЛД-11 змінюються при старінні діодів, при зміні рівня накачування і від зразка до зразка. Найбільш характерна величина кута розходження на рівні 0,5 для діодів, що працювали більше двох-трьох годин в обох площинах при середній потужності випромінювання порядку 1 мет, лежить в межах 10° — 18° . Для більшості нових діодів кутове розходження в площині, паралельній переходу, менше 10° . При малих рівнях накачування (потужність випромінювання порядку 0,2—0,3 мвт) розходження в цій площині для деяких зразків досягало 2° — 3° , проте робота при таких накачуваннях нестаєльна.

2. При збільшенні інжекційного струму від 30a (що близько до порогу) до 80a (що відповідає середній потужності випромінювання приблизно 3 мвт) кут розходження кривих розподілів на рівні 0,5 від найбільшої інтенсивності зростає для різних зразків діодів в 1,5—2 рази в площині, паралельній до $p-p$ переходу і значно менше звужується в перпендикулярному напрямку.

3. При старінні діодів діаграма в площині, паралельній переходу, розширяється. Для більшості досліджених зразків діодів розширення не проводиться значною зміною форми кривих і швидкістю його невелика (зміна кутового розходження в межах 1—2 годин роботи діодів, як правило, не перевищує 10%). Розподіл випромінювання в площині, перпендикулярній $p-p$ переходу, з старінням незначно звужується, а для деяких зразків не зазнають помітних змін.

ЛІТЕРАТУРА

1. Н. Г. Басов и др. ЖТФ, 1967, 37, № 2, 349.
2. J. C. Dument, T. H. Lachos. J. appl. Physics. 1968, 39, № 6, 2923.
3. М. Бирнбаум, Т. Л. Стоккер, С. И. Уэльс. ТИИЭР, 1964, № 6, 794.
4. Р. А. Валитов, Н. Г. Кокодий, А. В. Кубарев, В. М. Кузьмичев, А. Я. Лейкин, А. С. Обухов. Измерение характеристик оптических квантовых генераторов. Стандартгиз, М., 1969.
5. Дж. Бирнбаум. Оптические квантовые генераторы. «Советское радио», М., 1967.
6. В. А. Абрамский. «Оптика и спектроскопия», 1967, 22, № 4, 611.
7. А. М. Леонтович, А. П. Ведута. ЖЭТФ, 1964, 46, № 1, 71.

ДОСЛІДЖЕННЯ СИСТЕМ З ВИСОКИМ КОЕФІЦІЄНТОМ ТЕПЛОПРОВІДНОСТІ

B. P. Балкашин, B. M. Кузьмичов

У калориметричних вимірювачах потужності та енергії ОКГ з метою збільшення густини енергії на 1 cm^2 поверхні, а також

для зменшення втрат на перевипромінювання і нееквівалентність теплових втрат поглинальне навантаження виготовляють з матеріалу з великою теплопровідністю [1]. Найчастіше для цього використовують мідь. Останнім часом з'явилися системи для передачі тепла, названі «тепловими трубками», які працюють за зовсім іншим принципом і мають коефіцієнт теплопровідності в кілька тисяч разів більший, ніж кращі металеві провідники тепла. Тому можна стверджувати, що використання таких високотеплопровідних пристройів у колекторі калориметра дасть суттєву перевагу порівняно з металевими провідниками тепла. Нижче розглядається конструкція, принцип дії та деякі фізичні характеристики таких пристройів.

«Теплова трубка» являє собою довгу трубку, закриту з обох боків, з якої викачане повітря, всередині її знаходиться пористий гніт, насичений робочою рідинною. Гніт, густий і рівномірний, розміщується на внутрішній стінці труби, що звичайно виготовляється з міді, нержавіючої сталі або з тугоплавких сплавів. Як робоча рідина використовується вода, ацетон, аміак — для температур 200—500°К і Na, K, Pb, Ag — для більш високих температур. Серед різних матеріалів, що застосовуються для гнотів, найбільшого поширення набули різні склотканини, металеві сітки з дрібними отворами, вузькі канавки, зроблені вздовж на стінках труби, або пористі метали.

Принцип передачі тепла такою трубкою полягає ось в чому. Коли в якому-небудь місці (назвемо його зоною нагрівання) «теплової трубки» підводять теплову енергію, рідина в цьому місці випаровується з гнота. Пара рухається в напрямку градієнта температури і конденсується, при цьому вона віддає тепло, нагромаджене при випаровуванні. По гноту конденсат капілярними силами повертається у випарник, завершуючи цикл. Така система всебічно замкнута і тому може сприйматися як теплопровідник з дуже високим коефіцієнтом теплопровідності (в 10³—10⁴ разів краще, ніж у міді).

Кількість тепла, що переноситься в одиницю часу «тепловою трубкою» [2],

$$N = rm, \quad (1)$$

де r — питоме тепло випаровування;

m — потік маси.

У загальному випадку m визначається молекулярними властивостями рідини і геометрією капілярів і знаходиться з вирішення рівняння Пуазейля:

$$m = \frac{r \Delta P_0}{32 l \left(\frac{\gamma_n}{F_n d_n^2} + \frac{\rho_n}{\rho_p} \cdot \frac{\gamma_p}{F_p d_p^2} \right)}, \quad (2)$$

де l — довжина трубки;

v — кінематичний коефіцієнт внутрішнього тертя;
 F — поперечний переріз потоку;
 d — гідравлічний діаметр.

Індекс n відноситься до пари, p — до рідини.

Використовуючи рівняння Клапейрона-Клаузіуса, зобразимо перепад тиску ΔP_0 через перепад температури і одержимо вираз для теплової потужності, що передається в стаціональному режимі:

$$N = \frac{r^2 \rho_n}{32 T \left(\frac{\nu_n}{F_n d_n^2} + \frac{\rho_n}{\rho_p} \cdot \frac{\nu_p}{F_p d_p^2} \right)} \cdot \frac{\Delta T}{l}. \quad (3)$$

Максимальна передавана потужність одержується з (3) при умові максимального значення кривизни поверхні розподілу рідини і пари [3]:

$$N = \frac{\sigma r F_p d_p}{\nu_p b l}, \quad (4)$$

де σ — коефіцієнт поверхневого натягу рідини;

b — безрозмірна стала, що визначається геометрією капіляра (дорівнює ~ 16 для циліндричного вільного капіляра, $i \sim 20$ для капілярів з дротяної сітки).

Як видно з (3) і (4), коефіцієнт тепlopровідності k залежить від температури, при якій знаходиться «теплова трубка», причому для кожної температури підбором різних робочих рідин можна одержати цей коефіцієнт максимальним. Для оцінки температурної залежності k зручно користуватися деяким параметром C_T [4], що характеризує максимальну здатність пристрою передавати тепло з різними теплоносіями:

$$C_T = \frac{\rho_n^{2/5} \sigma^{3/5} r}{\nu_p^{1/5}}. \quad (5)$$

На рис. 1 ця величина C_T подана як функція температури для ряду теплоносіїв з низькою температурою кипіння — таких як вода, аміак, ацетон. Для порівняння на рис. 1 показано високотемпературний теплоносій Na . З рис. 1 видно, що при температурах $300—400^\circ K$ треба користуватися ацетоном, при $400—500^\circ K$ — водою. При більш високих температурах необхідно застосовувати рідкі метали.

Основні дослідження систем з високим коефіцієнтом тепlopровідності в стаціональному і імпульсному режимах проводилися на «тепловій трубці» діаметром 2 см, довжиною 60 см, виготовленій з міді або нейзільбера з робочою рідиною з ацетону або води, оскільки нас цікавило поведіння системи в інтервалі

температур 300—500°К. Внаслідок використання як гнота різних капілярних структур було встановлено, що краще всього повертається конденсат до випарника по волокнистих структурах і скручений в кілька шарів металевій сітці.

При роботі в стаціонарному режимі нагрівання здійснювалося від теплового джерела постійної потужності, наприклад, від спіральної обмотки, намотаної на трубку, по якій пропускався струм. Температура фіксувалася термопарами. Відбирання енергії в зоні конденсації здійснювалося проточною водою.

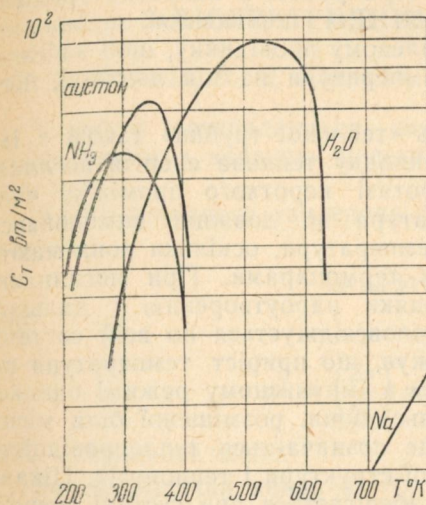


Рис. 1. Параметр C_T у функції температури.

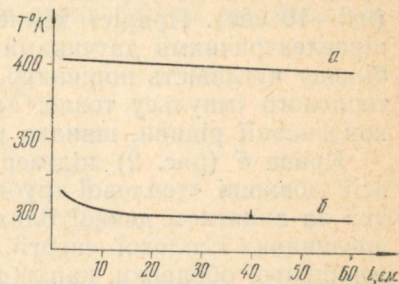


Рис. 2. Градієнт температури вздовж системи: а — для неперервного режиму; б — для імпульсного режиму.

Знаючи кількість тепла, підведеного до випарника і відведеного від зони конденсації, а також градієнт температури вздовж системи, можна визначити коефіцієнт теплопровідності k . Змінюючи робочу температуру, знімали залежність k від температури. Характер її виявився таким, як показано на рис. 1, а кількісно максимальне значення має для води $k=6,7 \cdot 10^4 \frac{\text{вт}}{\text{м} \cdot \text{град}}$,

для ацетону $k=4,2 \cdot 10^4 \frac{\text{вт}}{\text{м} \cdot \text{град}}$.

Оскільки «теплова трубка» має такий великий коефіцієнт теплопровідності, то вона є ізотермічним приладом, робоча температура якого визначається вибором робочої рідини і робочим тиском. Теоретично система працює завжди при однакової температурі, що залежить від тиску пари і є постійною вздовж всієї трубки. Однак на практиці існує невеликий температурний градієнт, оскільки утворюється невеликий градієнт

тиску пари між випарником і зоною конденсації, а також є деякий незначний градієнт температури по радіусу трубки.

На рис. 2 крива *a* показує, як змінюється температура «теплової трубки» за довжиною. Видно, що перепад температур між випарником і конденсатором на довжині 60 см складає $\sim 5^\circ$ при загальній робочій температурі $\sim 400^\circ\text{K}$ (як робоча рідина використовується вода). При роботі з ацетоном градієнт температури збільшується до 8° . Для порівняння зауважимо, що при передачі тепла по металевому провіднику, щоб забезпечити такий самий градієнт температури на цій довжині, його радіус треба збільшити до 1 м.

Перевірялася ізотермічність «теплової трубки» також в імпульсному режимі. У цьому випадку теплова енергія поглинається в зоні випарника на протязі короткого проміжку часу (0,2–10 сек). Приріст температури по довжині вимірювався піроелектричними датчиками температури, оскільки вони мають більшу чутливість порівняно з термопарами. При поглинанні теплового імпульсу тепло, завдяки пароутворенню і дальшій конденсації рідини, швидко розповсюджується по всій системі.

Крива *b* (рис. 2) підтверджує, що приріст температури по всій довжині «теплової трубки» в імпульсному режимі однаковий за винятком деякої близької зони, розміщеної біля місця поглинання теплової енергії, де позначається тепlopровідність зовнішньої оболонки, капілярної структури і теплоносія. Цікаво відзначити, що ізотермічність зберігається при густині енергії, яка досягає значення $\sim 150 \frac{\text{дж}}{\text{см}^2}$ для ацетону, $1 \sim 600 \frac{\text{дж}}{\text{см}^2}$ для води. При великій густині енергії внаслідок обмеженої кількості робочої рідини в капілярній структурі в зоні нагрівання, як виходить з (1), надлишкова енергія витрачатиметься не на випарювання рідини, а на безкорисне нагрівання системи.

В імпульсному режимі є характерна особливість щодо тривалості теплового імпульсу. Коли тривалість стає менше 1 сек. може змінитися характер кипіння рідини, в результаті чого між рідиною і стінкою трубки утворюється суцільний шар бульбашок пари, який заважає відведення тепла від стінки. Це викликає підвищення температури в даному місці, яке може привести до «вигорання». Щоб уникнути цього, треба використовувати робочі рідини з великим значенням параметра C_t . Наприклад, для води як робочої рідини і капілярної структури у вигляді металевої сітки, скручені в три шари з кількістю чарунок 1000 на 1 см^2 , критична тривалість теплового імпульсу становить 0,3 сек при загальній теплової енергії 600 дж.

ЛІТЕРАТУРА

1. Измерение характеристик оптических квантовых генераторов. Под ред. проф. Р. А. Валитова. Стандартгиз, М., 1969.

2. M. Schindler, G. Wöbner. Atomkernenergie 1965, 10, 395.
3. K. T. Feldman, G. H. Whiting. Mechanical Engineering 1967, 89, № 2, 30.
4. M. Groll, P. Zimmerman. Chemie — Ing. — Technik. 1969, 41, 1294—1300.

МІНІАТЮРНИЙ ТРИСАНТИМЕТРОВИЙ ХВИЛЕВОД З ДІЕЛЕКТРИЧНИМ ЗАПОВНЕННЯМ

Є. Д. Анан'їн, В. М. Конопля, Ю. М. Фесенко, В. П. Шейко

У роботі розглядаються хвилеводи, заповнені ізотропним діелектриком з великою діелектричною проникністю і малими втратами.

Для однорідного хвилевода без втрат фазова постійна має вигляд

$$\alpha^2 = k^2 - k_{\text{кр}}^2,$$

або

$$\alpha^2 = \left(\frac{2\pi}{\lambda_{\text{в}}}\right)^2 \mu\varepsilon - \left(\frac{2\pi}{\lambda_{\text{кр}}}\right)^2,$$

де k — хвильове число.

Умова відсічки хвиль $\alpha^2=0$. Коли діелектрична й магнітна постійні відрізняються від одиниці, то довжина хвилі, при якій робиться відсічка, змінюється. Для типу хвилі TE_{10} критична довжина хвилі буде дорівнювати $\lambda_{\text{кр}} = 2a/V\varepsilon$, якщо $\mu=1$ (для більшості діелектриків).

Таким чином, при $\varepsilon > 1$ критична довжина хвилі збільшується в $V\varepsilon$ раз, що дозволяє зменшити розміри хвилеводного тракту.

Особливістю розповсюдження електромагнітних хвиль в хвилеводах, заповнених ізотропним діелектриком, є уповільнення хвилі, виникнення поверхневих і вищих типів хвиль у випадку нерівномірного заповнення хвилевода діелектриком або варіації величини діелектричної проникності діелектрика.

При дослідженні хвилеводів з частковим заповненням ізотропним діелектриком головним завданням є пошук дисперсного рівняння для хвилеводів нескінченної протяжності із заданою перерізною структурою.

Використання хвилі TE_{10} приводить до несумісних рівнянь, неповно відбиває поля розповсюджуваних хвиль. Виникає по-зловжня компонента електричного і магнітного полів, для опису яких треба використовувати комбінацію з TE і TM -хвиль. Рішення стає більш простим, коли ввести термін поздовжніх

хвиль (поздовжньо-електричних LE та поздовжньо-магнітних LM) [2].

Характерним для частково заповнених хвилеводів є ефект концентрації поля в діелектрику, характерний для діелектричних хвилеводів. При цьому хвиля різко гальмується і у незаповненій частині має характер поверхневої хвилі. Дальше збільшення розміру діелектрика вже майже не відбивається на ф-

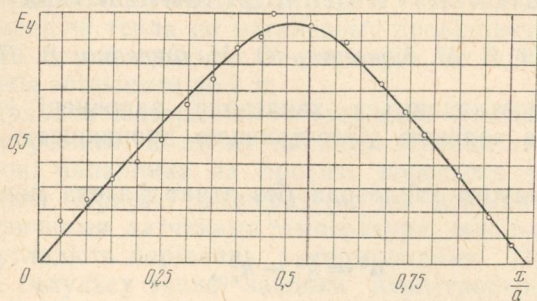


Рис. 1.

зовій швидкості хвилі, бо майже все поле розповсюджується в діелектрику. При невеликих щілинах між діелектриком і металевими стінками хвилевода постійна розповсюдження k_z майже не відрізняється від k_z повністю заповненого хвилевода, а електричні й магнітні поля відповідають основній хвилі TE_{10} .

У нашій роботі було використано стандартний хвилевод 8-міліметрового діапазону з поперечним розміром $7,2 \times 3,4$ мм. Відома умова розповсюдження хвилі TE_{10} у прямокутному хвилеводі має вигляд

$$a < \frac{\lambda_0}{\sqrt{\epsilon}} < 2a.$$

Тут a — ширина хвилевода; ϵ — відносна діелектрична проникність; λ — довжина хвилі у вільному просторі.

Виходячи з середньої частоти діапазону, потрібна величина ϵ становить 14. При цьому критична довжина хвилі у хвилеводі $\lambda_{kp} = 53,5$ мм, а довжина хвилі з частотою 10 Гц $\lambda_v = 9,6$ мм.

Характеристичний опір такого хвилевода дорівнює 93,5 ом.

Сумарні втрати енергії, що складаються з втрат у діелектрику і втрат у металевих стінках, дорівнюють 2,25 дБ/м, коли використано матеріал з $\epsilon = 14$ і $\operatorname{tg}\delta = 3 \cdot 10^{-4}$. Якщо мати на увазі скорочення хвилеводних елементів за рахунок зменшення λ_v , то втрати будуть лише в три-чотири рази більші, ніж у стандартних трисантиметрових або 8-міліметрових хвилеводах. Експериментальні дослідження заповнених діелектриком хвилеводів були зведені до вимірювання розподілу електричного

поля у хвилеводі, знаходження втрат та впливу повітряних щілин у діелектрику на розповсюдження електромагнітних хвиль.

Для експериментального дослідження згаданого хвилевода було розроблено комплект мініатюрних хвилеводів трисантиметрового діапазону і вимірювальні пристрой на основі цих хвилеводів. Для дослідження розподілу поля у хвилеводі зроб-

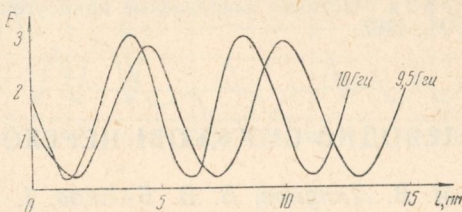


Рис. 2.

лено вимірювальний пристрій з двох схрещених хвилеводів із зв'язком у загальній широкій стінці. Зв'язок виконано за допомогою електричного зонду, який одним кінцем торкається поверхні діелектрика досліджуваного хвилевода, а другий заглиблено у вимірювальний хвилевод з детекторною секцією. Вимірювальний хвилевод пересувається перпендикулярно осі другого хвилевода. Завдяки цьому було досліджено розподіл поля E_y , як показано на рис. 1.

Розподіл електричного поля вздовж хвилевода вимірювався з допомогою спеціально розробленої вимірювальної лінії, що нагадує стандартну лінію типу Р1-12. Епюри стоячих хвиль, наведені на рис. 2, дають змогу знайти λ_b , що виявилася близькою до розрахованої (на частоті 10 Гц $\lambda_b = 9,65 \text{ мм}$). Гармонійний розподіл електричного поля з постійним періодом коливань вказує на відсутність неоднорідностей в діелектрику і вищих типів коливань.

Втрати енергії у відрізках хвилеводів різної довжини вимірювалися методом зміщення. Як еталонний атенюатор було використано поляризаційний атенюатор генератора Г4-32А з помилками градуїровки менше 0,3 дБ. Виміряна величина втрат без впливу втрат на фланцях хвилеводів становить близько 2,5 дБ/м.

Тріщини або невеликі щілини в діелектрику, як свідчать експериментальні дослідження, практично не збільшують загальних втрат хвилевода.

З теоретичних розрахунків і результатів експериментальних досліджень можна зробити висновок, що хвилеводи, заповнені діелектриком з великим ε і малими втратами, перспективні з точки зору їх використання для мініатюрних трактів передачі

НВЧ енергії трисантиметрового діапазону хвиль. При цьому в кілька разів зменшуються перерізні й поздовжні розміри елементів та їх вага.

ЛІТЕРАТУРА

1. Л. А. Вайштейн. Электромагнитные волны. «Советское радио», М., 1957.
2. Ю. В. Егоров. Частично заполненные прямоугольные волноводы. «Советское радио», М., 1967.

ХВИЛЕВОДНО-СМУЖКОВІ ПЕРЕХОДИ

*B. M. Сєдих, M. B. Ляпунов, B. B. Беліков, I. I. Саприкін,
B. B. Покусай*

У даний час виявляється велика увага до смужкових ліній передачі і створення на їх основі різних НВЧ елементів. Але конструкція і дослідження цих елементів ускладнюється відсутністю стандартної вимірювальної апаратури на смужках.

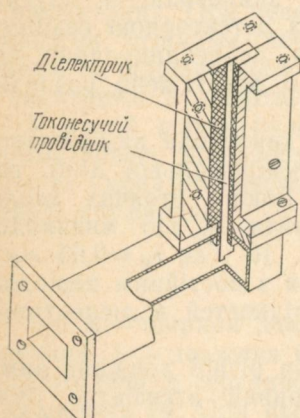


Рис. 1.

У зв'язку з цим виникає необхідність створення переходів від хвилеводів різноманітного перерізу до смужкових ліній передачі, що дозволить використати існуючу хвилеводну техніку.

Безпосередній переход від хвилевода до смужкової лінії має менші габарити й вагу і дешевше коштує, ніж переходи від хвилевода до коаксіальної лінії, а потім від коаксіальної до смужкової лінії.

Існує декілька робіт, в яких описано конструкції переходів від прямокутного хвилевода до несиметричної смужкової лінії [1, 2, 3] і до симетричної смужкової лінії [4, 5].

У даній роботі описується конструкція переходу від прямокутного хвилевода до симетричної екраниованої смужкової лінії.

Математичний розрахунок хвилеводно-смужкового переходу не проводився, бо навіть для найпростіших смужкових ліній він становить значні труднощі.

Конструкція хвилеводно-смужкового переходу показана на рис. 1.